

# **Долгосрочный сейсмический прогноз для Курило-Камчатской дуги: РАЗВИТИЕ, ПРОГНОЗ НА 2009-2014 гг., ОБОСНОВАНИЕ МЕР по сейсмозащите в 1986-2009 гг.**

---

**С.А.ФЕДОТОВ,  
А.В.СОЛОМАТИН, С.Д.ЧЕРНЫШЕВ**  
**Институт вулканологии и сейсмологии**  
**ДВО РАН, б-р Пийпа, 9,**  
**Петропавловск-Камчатский, 683006.**

e-mail: [karetn@online.ru](mailto:karetn@online.ru);  
[chernsd@yandex.ru](mailto:chernsd@yandex.ru); [alf55@mail.ru](mailto:alf55@mail.ru)

# Введение

■ Долгосрочный сейсмический прогноз - одно из самых важных направлений исследований и работ по прогнозу и оценке сейсмической опасности. Курило-Камчатская дуга является наиболее сейсмичным регионом России. Сейсмичность достигает здесь наивысшего уровня, существующего на Земле. Именно для этого региона и сходных с ним структур в 1965 г. С.А. Федотовым был предложен метод долгосрочного сейсмического прогноза, основанный на закономерностях размещения вероятных мест следующих сильнейших землетрясений ("сейсмических

брешей") и сейсмического цикла.

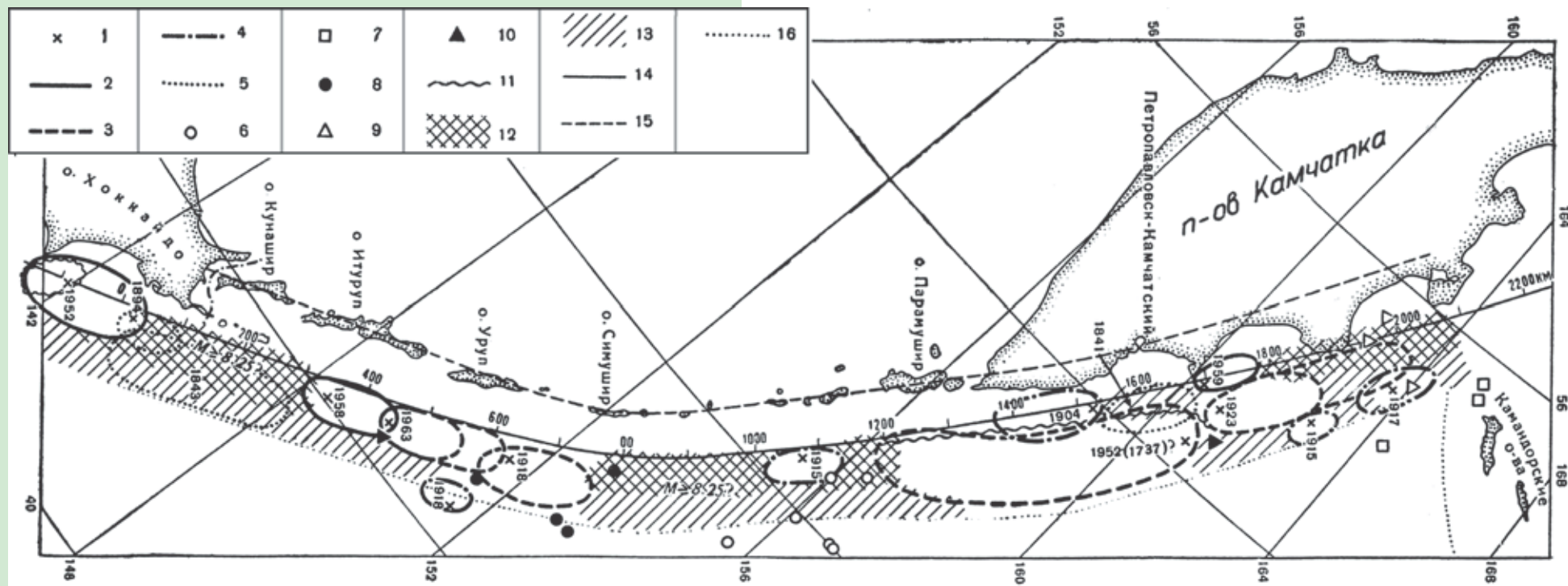
В круг задач и вопросов долгосрочного сейсмического прогноза входят изучение закономерностей сейсмического процесса, получение данных об опасности сильнейших землетрясений, составление и совершенствование долгосрочных сейсмических прогнозов, необходимых для подготовки к сильнейшим землетрясениям и для принятия мер по предотвращению вероятных ущерба и потерь.

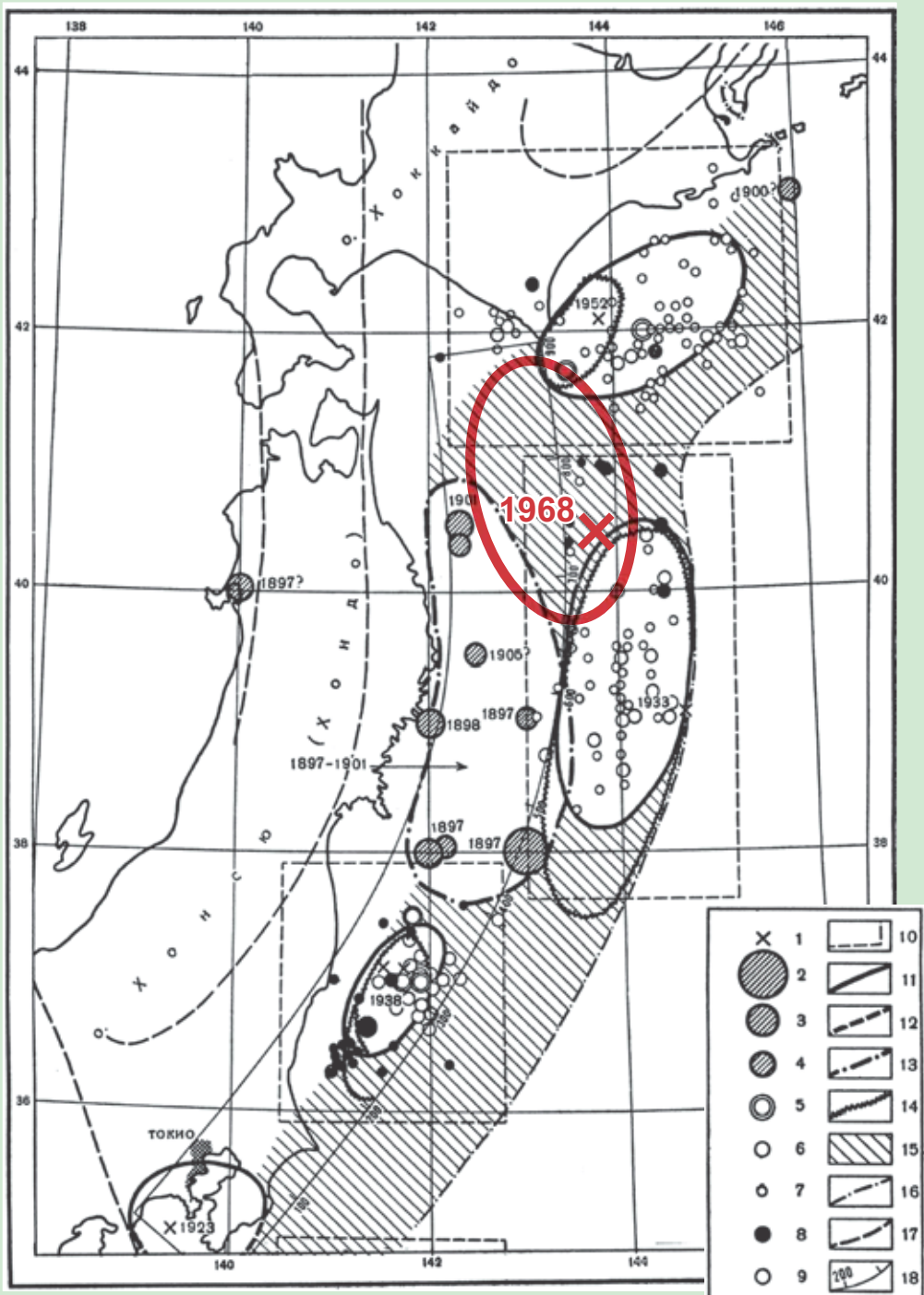
Метод долгосрочного сейсмического прогноза одновременно является долгосрочным прогнозом цунами для Курило-Камчатской дуги, а также может применяться в других регионах мира, имеющих сходные структуру, геодинамику и сейсмотектонику.

**Первая карта вероятных мест следующих курило-камчатских землетрясений с  $M \geq 7.75$ , «сейсмических брешей», опубликованная в 1965 году [Федотов, 1965].** Наиболее крупные сейсмические бреши располагались тогда в районе Южных Курил, Средних Курил и Кроноцкого п-ова - Камчатского залива.

**1** - инструментальные эпицентры сильных землетрясений; **2** - границы областей очагов сильных землетрясений; **3** - неуверенные участки границы или возможные варианты границ областей очагов; **4** - возможные области очагов; **5** - предполагаемые области очагов наиболее сильных землетрясений прошлого столетия; афтершоки землетрясения; **6** - 1.V 1915 г.; **7** - 30.I 1917 г.; **8** - 7.IX 1918 г.; **9** - 3.II 1923 г.; **10** - сильные форшоки землетрясений 1923 и

1963 гг.; **11** - границы областей возникновения цунами; **12** - наиболее вероятные места следующих землетрясений с  $M \geq 7.75$ ; **13** - менее вероятные места следующих землетрясений с  $M \geq 7.75$ ; **14** - линия отсчета расстояний, проведенная вдоль места выхода на дно океана Тихоокеанской фокальной зоны; **15** - оси глубоководных впадин; **16** - ось Курило-Камчатского вулканического пояса.





## Области очагов сильных землетрясений ( $M \geq 7\frac{3}{4}$ ) северо-восточной Японии в 1897 - 1963 гг. и вероятные места следующих землетрясений с $M \geq 7\frac{3}{4}$ .

Инструментальные эпицентры землетрясений: 1 – 1923-1963 гг.; 2 – 1897-1905 гг. с  $M = 8.5-8.75$ ; 3 –  $M = 8-8.25$ ; 4 –  $M = 7\frac{3}{4}$ ; эпицентры форшоков и афтершоков: 5 –  $M \geq 7$ ; 6 –  $M = 6.0-6.9$ ; 7 –  $M = 5.0-5.9$ ; 8 – эпицентры форшоков; 9 – эпицентры афтершоков; 10 – границы областей, в которых нанесены все землетрясения за 1933, 1938, 1952 и 1953 гг., включая форшоки и афтершоки; 11 – границы областей очагов сильных землетрясений; 12 – неуверенные участки границ областей очагов; 13 – возможная граница области землетрясений 1897-1901 гг.; 14 – границы областей возникновения цунами; 15 – вероятные места возникновения следующих сильных землетрясений; 16 – оси глубоководных впадин; 17 – оси вулканических поясов; 18 – линия отсчета расстояний вдоль континентального склона глубоководной впадины.

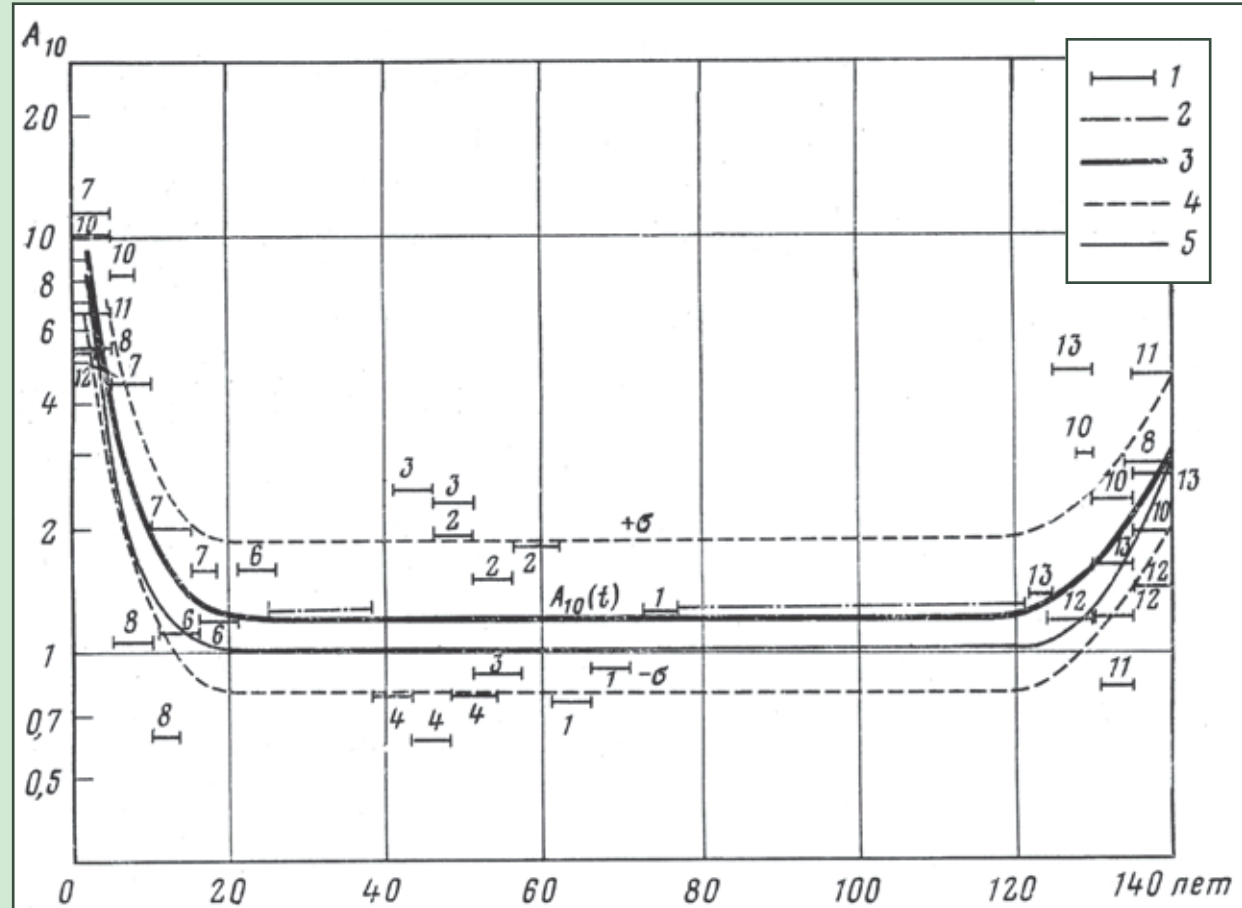
На карту [Федотов, 1965] добавлены выделенные красным цветом эпицентр и очаг землетрясения 6.V 1968 г.,  $M=7.9$ , заполнившего в соответствии с данным сейсмическим прогнозом сейсмическую брешь между очагами сильнейших землетрясений 1897-1901 гг. ( $M=7.9-8.3$ ), 1933 г. ( $M=8.5$ ) и 1952 г. ( $M=8.3$ ).

## Изменение сейсмической активности $A_{10}(t)$ в течение сейсмического цикла для землетрясений Курило-Камчатской сейсмофокальной зоны и северо-восточной Японии.

1 – средние значения сейсмической активности за 5 лет (цифры соответствуют номеру землетрясения в табл.); 2 – среднегодовое значение  $A_{10}$ , определенное по годовым

картам сейсмической активности Камчатки; 3 – осредненный график изменения  $A_{10}$  в течение цикла; 4 – границы среднеквадратического отклонения  $\sigma(\lg A_{10}) = \pm 0.18$ ; 5 – гра-

фик  $A_{10}(t)$ , полученный ранее [Федотов, 1968].



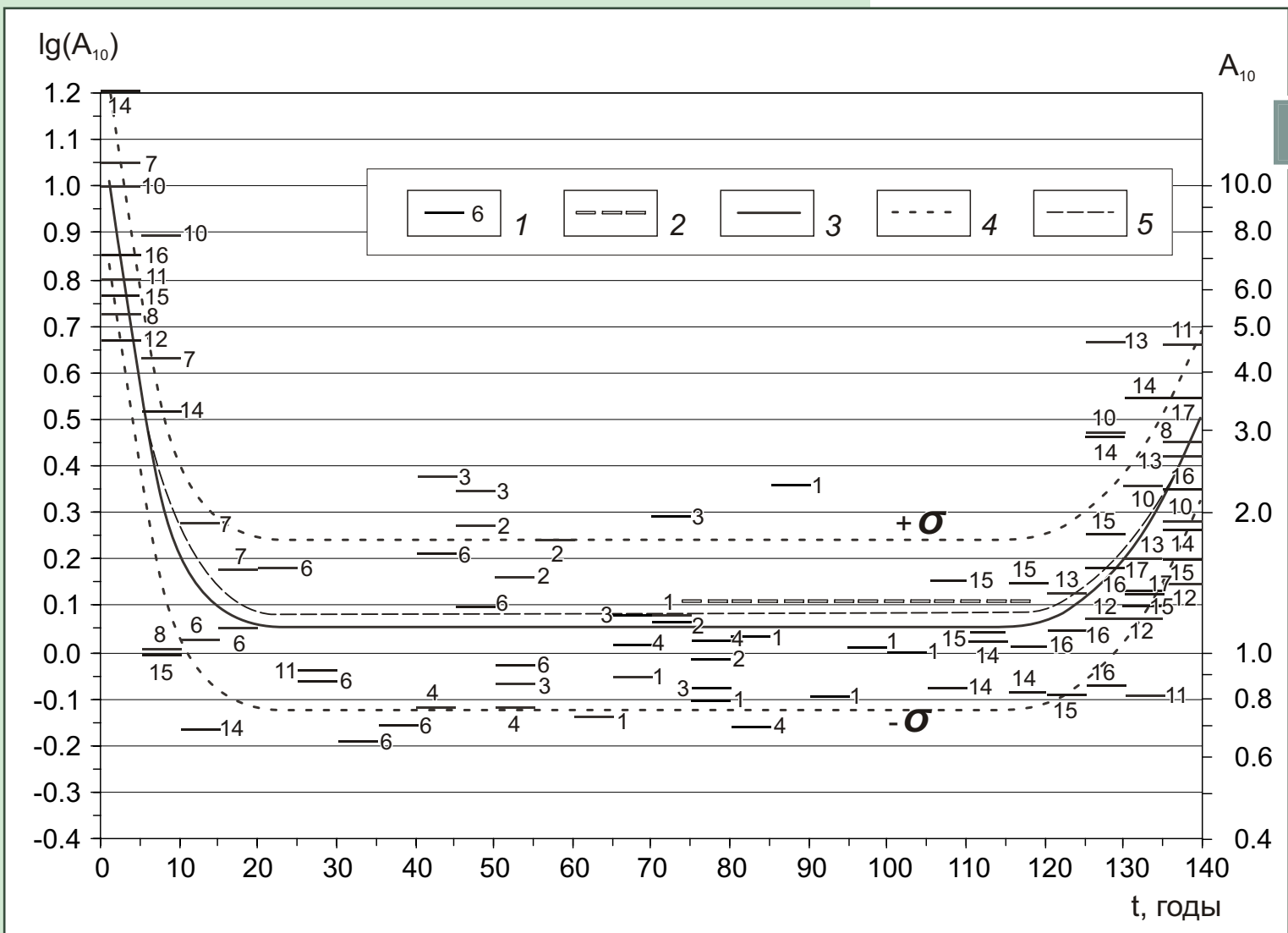
**A<sub>10</sub>** – нормированное число слабых землетрясений энергетического класса  $K_S=10$ ,  $M=3.2$  в год на площади  $10^3 \text{ км}^2$ .

### Инструментальные данные о землетрясениях Камчатки, Курильских островов и северо-восточной Японии ( $M \geq 7\frac{3}{4}$ , $H < 80 \text{ км}$ )

№	Дата	Район	$\phi^{\circ} \text{N}$	$\lambda^{\circ} \text{E}$	h, км	M
1	25.VI 1904	Восточнее Южной Камчатки	52.0	159.0	15 - 60	7.7
	25.VI 1904		52.0	159.0	15 - 60	7.7
2	1.V 1915	Восточнее Онекотана	48.4	155.5	30 ± 30	8.3
3	7.IX 1918	Восточнее Урупа - Симушира	45.6	151.1	40 + 20	8.2
4	3.II 1923	Кроноцкий залив	53.0	161.0	10 - 40	8.5
5	4.III 1952	Восточнее Хоккайдо	41.9	143.7	50 ± 10	8.3
6	4.XI 1952	Восточнее Южной Камчатки - Парамушира	52.3	161.0	10 - 40	8.5
7	6.XI 1958	Восточнее Итурупа	44.5	148.5	40 ± 20	8.2
8	13.X 1963	Восточнее Урупа	44.8	149.5	47 ± 10	8.1
9	16.V 1968	Восточнее севера Хонсю	40.7	143.6	0	7.9
10	11.VIII 1969	Восточнее Шикотана	43.6	147.8	40 ± 10	8.2
	11.VIII 1969		43.6	147.2	38 ± 15	7.8
11	15.XII 1971	Восточнее п-ова Камчатского	55.9	163.4	20 - 30	7.7
12	17.VI 1973	Восточнее п-ова Немуро	43.2	145.9	55 ± 10	7.9
13	23.III 1978	Восточнее Итурупа	43.9	148.9	40	7.8
	24.III 1978		43.9	149.1	39	8.0

## Обновленный вариант цикла $A_{10}$

Цикл сейсмической активности  $A_{10}(t)$  в Тихоокеанской фокальной зоне у берегов Камчатки, Курильских островов и северо-восточной Японии. 1 – средние значения сейсмической активности за 5 лет (цифры 1-13 соответствуют номеру землетрясения в табл. на предыдущей странице, цифры 14-17 - таблице внизу страницы); 2 – уровень  $A_{10}$ , определенный по 72 точкам годовых карт сейсмической активности Камчатки 1962-1978 гг.; 3 – осредненный график изменения  $A_{10}$  в течение цикла; 4 – границы среднеквадратического отклонения  $\sigma(\lg A_{10}) = \pm 0.18$ ; 5 – график  $A_{10}(t)$ , построенный ранее (пред. стр.).



■ Землетрясения Курило-Камчатской дуги 1994-2006 гг.,  $M \geq 7.7$ ,  $H < 100$  км, использованные при уточнении сейсмического цикла  $A_{10}(t)$ .

№	Год	Дата	Время, ч, мин	Район	с.ш. <sup>°</sup>	в.д. <sup>°</sup>	Н, км	$M^*$
14	1994	13.X	13.22	Шикотанское	43.7	147.6	33	8.1
15	1997	5.XII	11.26	Кроноцкое	54.7	162.4	33	7.9
16	2003	25.IX	19.50	Юго-восточнее Хоккайдо	41.8	143.9	27	8.1
17	2006	15.XI	11.14	Средне-Курильское	46.7	153.2	28	8.2

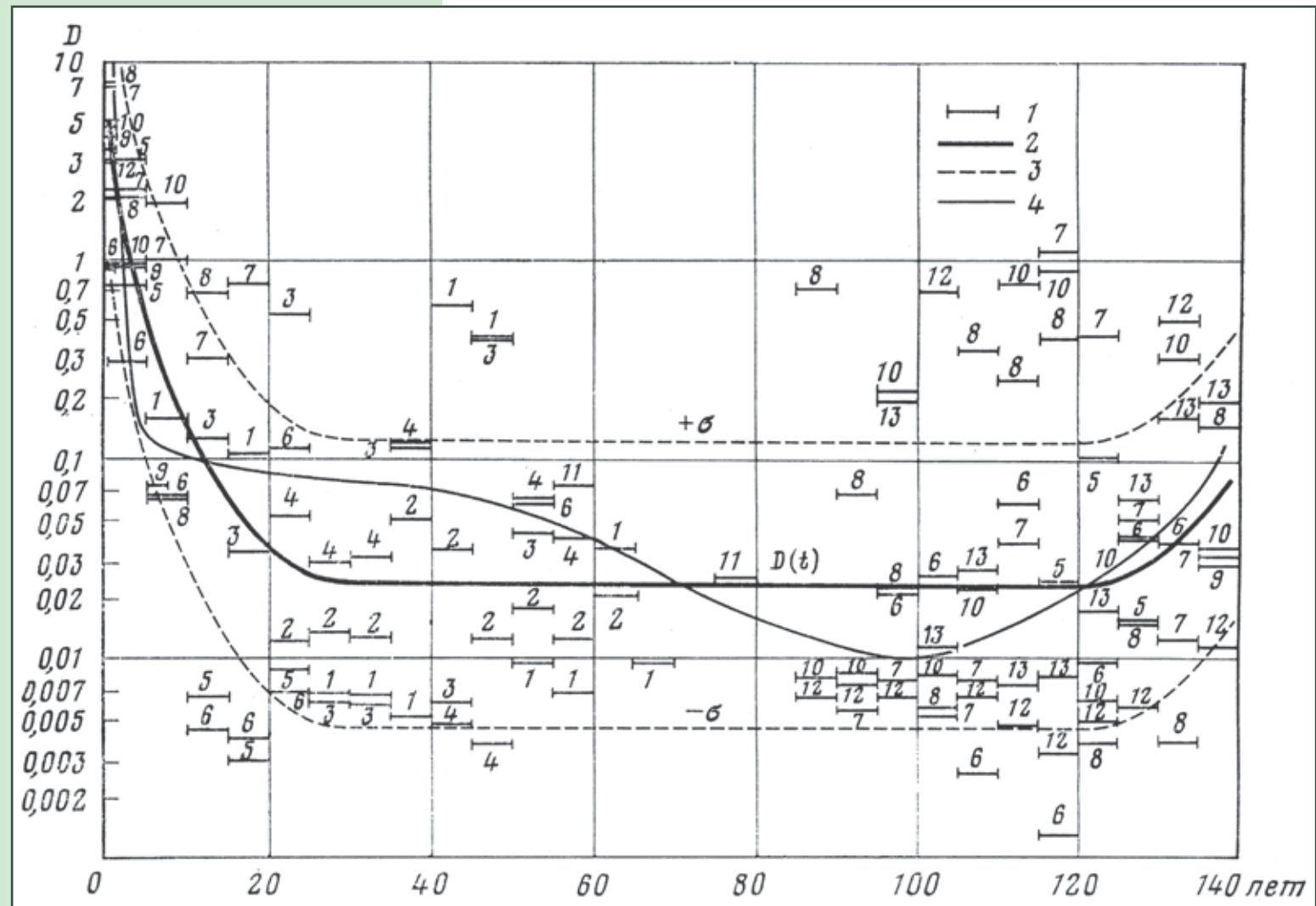
## Изменение интенсивности сбрасывания сейсмической энергии, определяемой параметром D(t), в течение сейсмического цикла для землетрясений Курило-Камчатской сейсмофокальной зоны и северо-восточной Японии.

1 – средние за 5 лет значения D в областях очагов землетрясений с  $M \geq 7\frac{3}{4}$  (цифры соответствуют номеру землетрясения в таб-

лице на предыдущей стр.); 2 – осредненный график изменения в течение цикла; 3 – графики границы среднеквадратичного отклонения  $\sigma(\lg D) = \pm 0,72$ ; 4 – график  $D(t)$ , полученный ранее [Федотов, 1968].

**D** - относительная величина сброшенной сейсмической энергии:  

$$D(t) = E_2(t)/E_1,$$
 где  $E_2(t)$ , Дж/год• $10^3$  км $^2$  - нормированная величина сейсмической энергии, выделяющейся в рассматриваемом участке за время t, а  $E_1$ , Дж/год• $10^3$  км $^2$  - средняя нормированная величина сейсмической энергии, выделяющейся в Курило-Камчатской сейсмогенной зоне.



**В круг задач и вопросов долгосрочного сейсмического прогноза входят:**

- изучение закономерностей сейсмического процесса;
- получение данных об опасности сильнейших землетрясений;
- составление и совершенствование долгосрочных сейсмических прогнозов, необходимых для подготовки к сильнейшим землетрясениям и для принятия мер по предотвращению вероятных ущерба и потерь.

Важным положением метода является понятие однородности основных параметров сейсмического процесса, определяемых для больших сегментов Курило-Камчатской сейсмогенной зоны на всем ее протяжении. Это условие оправдывается, и важным подтверждением его справедливости явился успешный прогноз Средне-Курильского (Симуширского) землетрясения 15.XI 2006 г.,  $M=8.2$  в районе Средних Курильских островов, где, как предполагалось многими исследователями землетрясения с  $M>7.5$  были невозможны.

В основе метода долгосрочного прогноза С.А. Федотова лежат понятия о таких фундаментальных свойствах в общем случае сложного и неоднозначного в своих проявлениях сейсмического процесса, как "сейсмическая брешь" и "сейсмический цикл".

**Понятие "сейсмическая брешь".** Анализ размещения очагов сильных землетрясений Камчатки, Курильских островов и северо-восточной Японии в самом начале исследований привел к выводу, что области очагов сильных землетрясений стремятся не перекрывать друг друга, что позволяет определять наиболее вероятные места следующих таких землетрясений.

**Понятие "сейсмический цикл".** В первых работах, на основе которых создавался метод, было введено понятие «сейсмический цикл» - закономерное изменение сейсмического режима в данном месте в интервале времени между

двумя землетрясениями максимальной силы, происшедшими в нем. Была определена его длительность для сильнейших землетрясений Камчатки, Курильских островов и Японии, равная  $140\pm60$  лет или  $120\pm50$  лет (верхняя и нижняя оценка). На основе известной длительности сейсмического цикла уточняется относительная опасность различных сегментов сейсмогенной зоны.

Для длительных - пятилетних периодов времени при усреднении на площадях, равных размеру очага сильнейшего землетрясения или больших может быть представлен в виде трех стадий: I – наиболее активная стадия афтершоков, длившаяся  $\sim 20$  лет; II - длительная стадия стабильного режима; III - заключительная стадия, стадия форшоковой активизации, длившаяся  $\sim 20$  лет.

В настоящее время метод позволяет прогнозировать для 20 участков (длиной 100-200 км.) наиболее активной части Курило-Камчатской сейсмофокальной зоны - полосы шириной 100 км. и глубинами гипоцентров землетрясений до 80 км. такие параметры, как:

- места "сейсмических брешей";
- относительная опасность "сейсмических брешей";
- сейсмическую активность  $A_{10}$  (число слабых землетрясений энергетического класса  $K_S = 10$  или  $M = 3.6$  в год на площади  $10^3 \text{ км}^2$ );
- магнитуды  $M$  землетрясений, ожидающихся с вероятностями 0.8, 0.5 и 0.15;
- максимальные магнитуды землетрясений;
- вероятности возникновения сильнейших землетрясений с  $M \geq 7.7$ .

Долгосрочные сейсмические прогнозы составляются на 5 (реже 10 и более) следующих лет, что приблизительно равно средней повторяемости сильнейших землетрясений во всей Курило-Камчатской дуге, в случае необходимости - чаще. Полученные прогнозы сопоставляются с долгосрочными сейсмическими прогнозами, полученными другими методами ( $M8$  и др.).

# Основные сейсмические, расчетные и прогнозируемые параметры, используемые в методе долгосрочного сейсмического прогноза С.А. Федотова

7

## Параметры, характеризующие сейсмический процесс и расчетные параметры

$A_{10}^*$	Нормированное число слабых землетрясений энергетического класса $K_S=10$ , $M=3.2$ в год на площади $10^3 \text{ км}^2$ .
$D^*$	Относительная величина сброшенной сейсмической энергии. $D(t)=E_2(t)/E_1$ , где $E_2(t)$ , Дж/год• $10^3 \text{ км}^2$ -нормированная величина сейсмической энергии, выделяющейся в рассматриваемом участке за время $t$ , а $E_1$ , Дж/год• $10^3 \text{ км}^2$ - средняя нормированная величина сейсмической энергии, выделяющейся в Курило-Камчатской сейсмогенной зоне.
$A_{11}^*$	Параметр, построенный аналогично $A_{10}$ на основе землетрясений класса $K_S=11$ , $M=4.3$ и выше. Имеет несколько отличные от $A_{10}$ свойства.
$\Delta, t_0$	Длина участка и время предыдущего землетрясения.
$P_1=P(A_{10}), P_2=P(D)$	Вероятности случайного превышения для данных значений $A_{10}$ и $D$ соответствующих средних значений, характерных для II стадии сейсмического цикла.
$P_3^{11}=P(A_{11})$	Аналогично для $A_{11}$ .
$B=(P_1 \cdot P_2)$ или $B=(P_1 \cdot P_2 \cdot P_3^{11})$	Вероятность случайного достижения аномально высоких значений всеми двумя (тремя) параметрами независимо друг от друга.

\* Определяется по участкам площадью около 15 тыс. кв. км. за период длительностью 5 лет.

## Прогнозируемые параметры

Стадия цикла (I, II, III)	Характеризует степень опасности участка сейсмофокальной зоны. Определяется по времени последнего сильнейшего землетрясения в нем.
$A_{10}(P \sim 0.7)$	Среднее значение и границы параметра $A_{10}$ для данной стадии цикла.
$M(P \sim 0.8, 0.5, 0.15)$	Максимальные магнитуды ожидаемых с вероятностью $P=0.8, 0.5, 0.15$ землетрясений.
$M_{MAX}$	Максимальная для данного участка магнитуда, определяемая по его размерам.
$P(M \geq 7.7)\%$	Вероятность сильнейшего ( $M \geq 7.7$ ) землетрясения на данном участке в следующие пять лет. Пропорциональна величине $1-B$ и $\Delta$ для участка являющегося "сейсмической брешью" или определяется по времени $t_0$ на основе распределений $T_1 = 140 \pm 60$ или $T_2 = 120 \pm 50$ лет для остальных участков.
Вероятная очередьность	Порядок по степени опасности для "сейсмических брешей".
$N(t, M \geq 6)$	Суммарное количество афтершоков сильнейшего землетрясения, имеющих магнитуду $M \geq 6$ , ожидаемых за период $t$ после сильнейшего землетрясения.

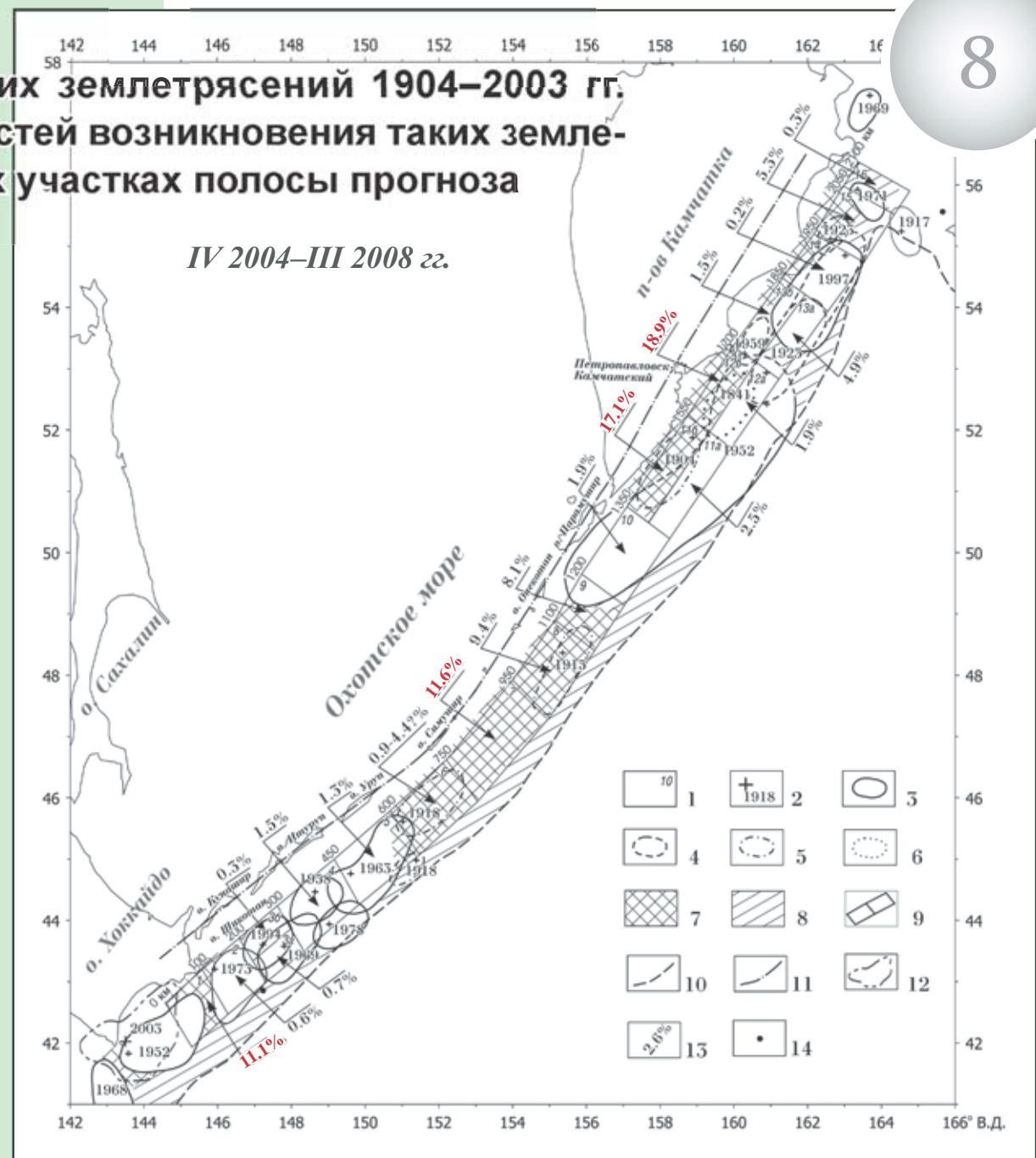
### Дополнительные возможности метода:

- краткосрочный прогноз на основе "сценария форшоков";
- прогноз опасных афтершоков с магнитудой от  $M=6$  до равных по магнитуде основному землетрясению, что необходимо в период спасательно-восстановительных работ;
- долгосрочный сейсмический прогноз может быть одновременно прогнозом цунами;
- метод может быть распространен на другие сейсмоопасные регионы, сходные с Курило-Камчатским.

## Карта очагов курило-камчатских землетрясений 1904–2003 гг. с $M \geq 7.7$ , $H = 0\text{--}80$ км и вероятностей возникновения таких землетрясений в 2004–2008 гг. во всех участках полосы прогноза

■ Пример карты долгосрочного сейсмического прогноза, построенной до Средне-Курильского (Симуширского) землетрясения 15.XI 2006 г.,  $M=8.2$ , можно отметить значительную вероятность сильнейшего землетрясения в участке №7, а также в целом для "сейсмической бреши", представленной участками №№6-9.

1 - номер участка; 2 - инструментальные эпицентры главных толчков землетрясений с  $M \geq 7.7$  и их даты; 3 - границы очагов землетрясений с  $M \geq 7.7$ , проведенные с точностью 10 км.; 4 - участки тех же границ, проведенные с меньшей точностью; 5 - вероятные области очагов землетрясений 1904–1918 гг. с  $M \geq 7.7$ ; 6 - предполагаемая область очага 1841 г.; 7 - наиболее вероятные места следующих землетрясений с  $M \geq 7.7$ ; 8 - возможные места следующих таких землетрясений; 9 - границы участков прогноза; 10 - оси глубоководных желобов; 11 - ось вулканического пояса Курило-Камчатской дуги; 12 - предварительное определение границы очага землетрясения 25.09.2003 г.,  $M=8.1$ ; 13 - вероятности землетрясений  $M \geq 7.7$  на период 2004–2008 гг. по участкам прогноза; 14 - эпицентры землетрясений с  $6.9 < M < 7.7$ , произошедших в IV 1999–III 2004 гг.



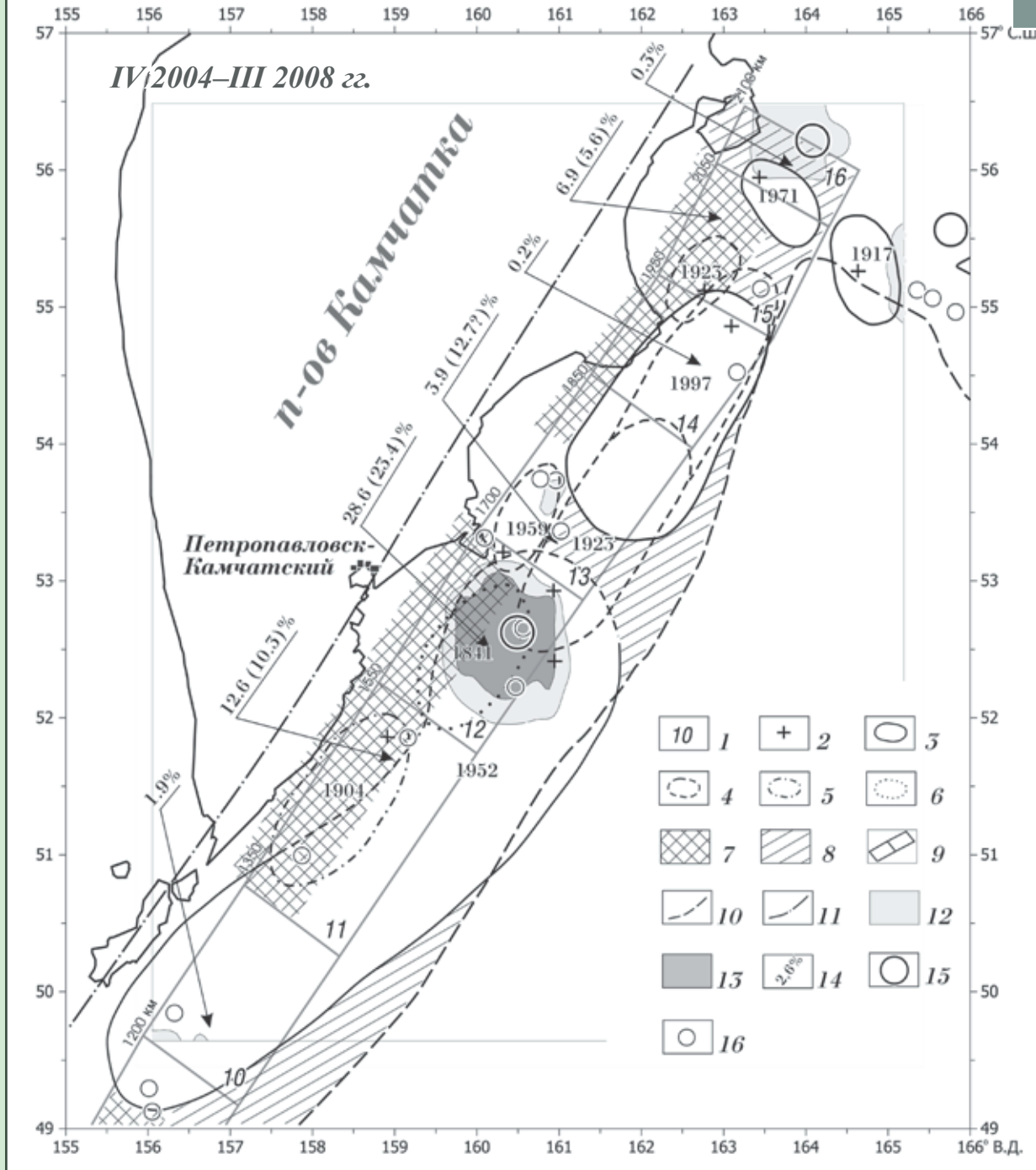
# Долгосрочный сейсмический прогноз для Курило-Камчатской дуги на 2004-2008 гг. ( $H<80$ км)

9

Пример таблицы долгосрочного сейсмического прогноза, построенной до Средне-Курильского (Симуширского) землетрясения 15.XI 2006 г.,  $M=8.2$ . Обозначения параметров - в сводной таблице выше. Средняя долговременная величина  $P(M \geq 7.7) = 3.6-4.2\%$ .

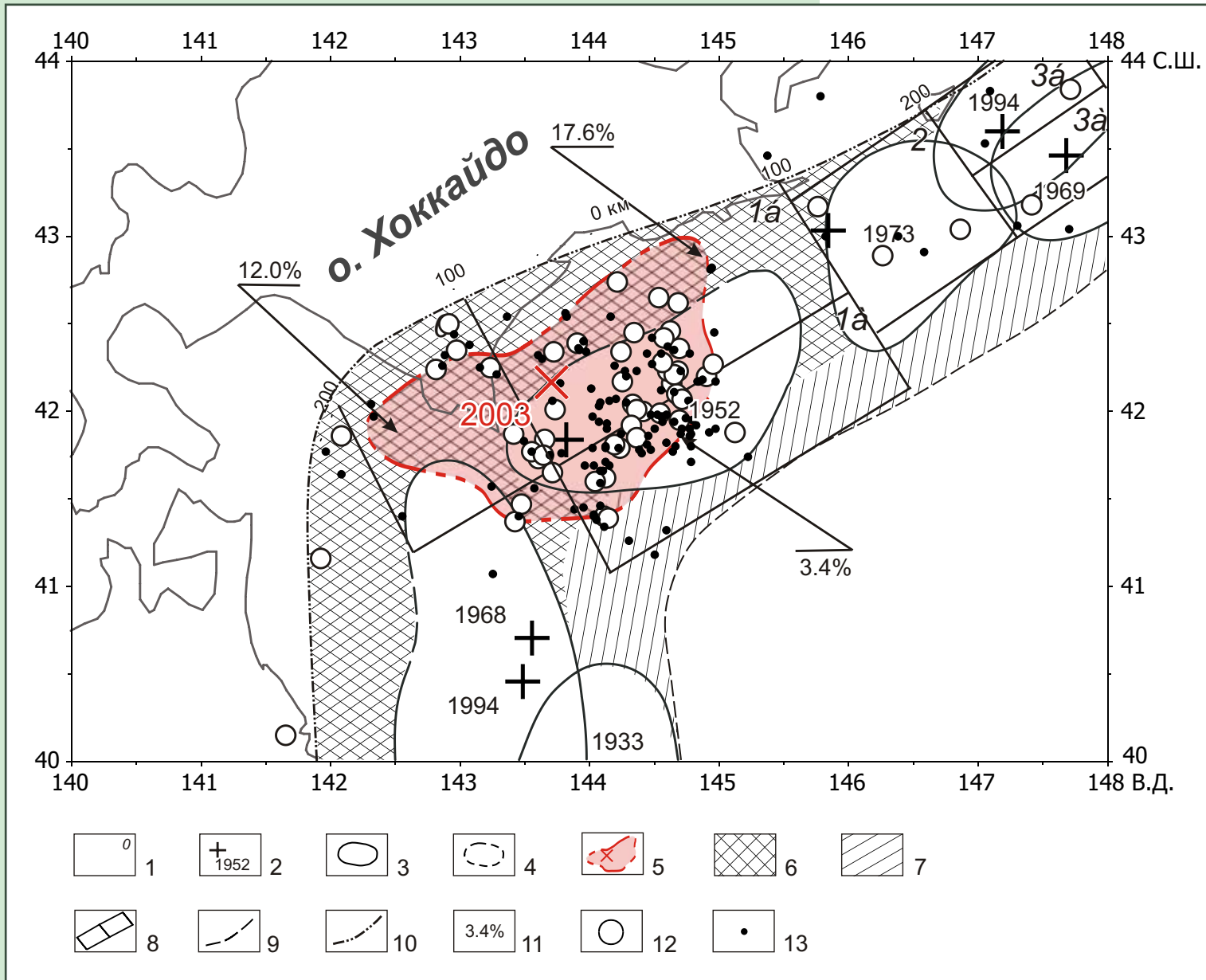
Участок, №	$\Delta$ , км	Район	$t_0$	Стадия цикла и ее оценка по данным 1999-2004 гг. (1.04.1999 г. - 1.04.2004 г.)				Прогноз на 2004 – 2008 гг.								Вероятная очередьность	
								A <sub>10</sub> (P~0.7)				M					
				Стадия	P(A)	P(D)	B = P(A)*P(D)	A <sub>10</sub>	A <sub>10</sub> ±σ	P~0.8	P~0.5	P~0.15	M <sub>max</sub>	P(M≥7.7)%			
1	0 - 100	Мыс Сириха - п-ов Немуро	1952	III?	0.41	0.61	0.25	1.2 - 3	0.8 - 4.5	6.0	6.5	7.0	7.8	11.1 (3.9)	4 (7)		
2	100 - 200	П-ов Немуро - о. Зелёный	1973	II				1.2	0.8 - 1.9	5.8	6.3	6.8		0.6 (0.5)			
3а	200 - 300	О. Шикотан, Ю-В	1969	II				1.2	0.8 - 1.9	5.7	6.2	6.7		0.7 (0.6)			
3б	200 - 300	О. Шикотан, С-З	1994	I				2.1→1.4	0.9 - 3.1	6.0	6.4	6.9		0.3 (0.2)			
4	300 - 450	О. Итуруп	1958	II				1.2	0.8 - 1.9	5.9	6.4	6.9		1.5 (1.4)			
5	450 - 600	Пролив Фриза - о. Уруп	1963	II				1.2	0.8 - 1.9	5.9	6.4	6.9		1.3 (1.1)			
6	600 - 750	Мыс Кастикум - пр. Буссоль	1918	III?	0.97	0.98	0.96	1.2 - 3	0.8 - 4.5	6.0	6.5	7.0	8.0	0.9 - 4.4? (7.7)	9 (6)		
7	750 - 950	О. Симушир - пролив Круzenштерна		III?	0.97	0.62	0.61	1.2 - 3	0.8 - 4.5	6.2	6.7	7.2	8.2	11.6 (11.7?)	3 (4?)		
8	950 - 1100	О. Шиашкотан	1915	III?	0.999	0.58	0.58	1.2 - 3	0.8 - 4.5	6.0	6.5	7.0	8.0	9.4 (3.5)	5 (8)		
9	1100 - 1200	О. Онекотан - пролив 3-й Курильский		III?	0.72	0.63	0.45	1.2 - 3	0.8 - 4.5	6.0	6.4	7.0	7.9	8.1 (5.8)	6 (5)		
10	1200 - 1350	О. Парамушир - мыс Лопатка	1952	II				1.2	0.8 - 1.9	5.9	6.4	6.9		1.9 (2.7)			
11а	1350 - 1550	Юг Камчатки, Ю-В	1952	II				0.8	0.6 - 1.1	5.8	6.3	6.8		2.5 (3.6)			
11б	1350 - 1550	Юг Камчатки, С-З	1904	III	0.72	0.59	0.42	1.3 - 3	0.8 - 4.5	6.0	6.5	7.0	8.0	17.1 (18.3)	2 (2)		
12а	1550 - 1700	Зал. Авачинский - п-ов Шипунский, Ю-В	1952	II				1.2	0.8 - 1.9	5.7	6.2	6.7		1.9 (2.7)			
12б	1550 - 1700	Зал. Авачинский - п-ов Шипунский, С-З	1841	III	0.19	0.77	0.15	1.2 - 3	0.8 - 4.5	5.9	6.4	6.9	8.0	18.9 (20.5)	1 (1)		
13а	1700 - 1850	Залив Кроноцкий, Ю-В	1923	III?	0.997	0.78	0.78	1.2 - 3	0.8 - 4.5	5.9	6.4	6.9	8.0	4.9 (3.6)	8		
13б	1700 - 1850	Залив Кроноцкий, С-З	1959	II				2.6	1.7 - 3.9	5.9	6.4	6.9		1.5 (1.3)			
14	1850 - 1950	П-ов Кроноцкий	1997	I				3.1→1.9	1.2 - 4.5	6.0	6.5	7.0		0.2 (0.2)			
15	1950 - 2050	Зал. Камчатский		III?	0.80	0.81	0.64	1.2 - 3	0.8 - 4.5	6.0	6.5	7.0	7.9	5.3 (8.5)	7 (3)		
16	2050 - 2100	П-ов Камчатский	1971	II				0.8	0.6 - 1.1	5.7	6.2	6.7		0.3 (0.3)			
Оценка критических значений вероятностей					0.062	0.308	0.019										$\Sigma = 101.7 (98.1)$

**Долгосрочный сейсмический прогноз для Камчатки на 2004–2008 гг, «сейсмические бреши» и вероятности возникновения сильнейших землетрясений с  $M \geq 7.7$ , глубины  $H = 0$ –80 км. Параметр В.**

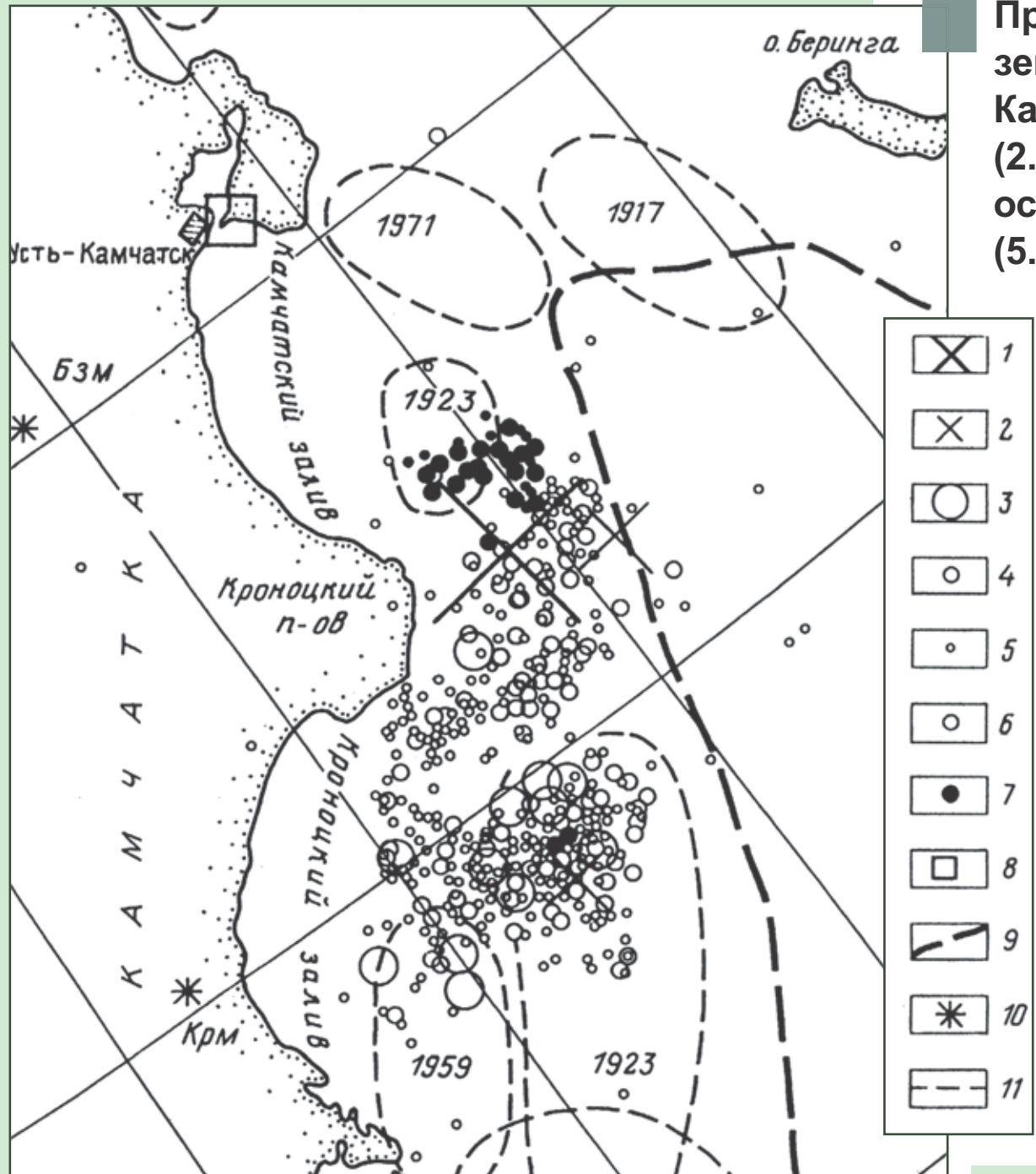


1 - номер участка; 2 - инструментальные эпицентры главных толчков землетрясений; 3 - границы областей очагов, проведенные с точностью 10 км; 4 - участки тех же границ, проведенные с меньшей точностью; 5 - вероятные области очагов землетрясений 1904–1918 гг. с  $M \geq 7.7$ ; 6 - предполагаемая область очага землетрясения 1841г.; 7 - наиболее вероятные места следующих землетрясений с  $M \geq 7.7$ ; 8 - возможные места следующих таких землетрясений; 9 - зона прогноза; 10 - оси глубоководных желобов; 11 - ось вулканического пояса Курило-Камчатской дуги; 12 - область аномальных значений параметра  $B < 0.25$ ; 13 - область аномальных значений параметра  $B < 0.02$ , соответствующая отклонению от нормы с вероятностью 0.98; 14 - вероятности возникновения землетрясений с  $M \geq 7.7$  в 2004–2008 гг.; 15 - эпицентры землетрясений за IV 1999–III 2004 гг. с  $6.5 \leq M_S < 7.7$ ; 16 - эпицентры землетрясений за тот же период с  $5.5 \leq M_S < 6.5$ .

Ретроспективный прогноз мест и вероятности сильнейших землетрясений  
для района о. Хоккайдо на 2001–2005 гг., Н = 0–80 км. Очаг 25.IX 2003 г., М=8.1



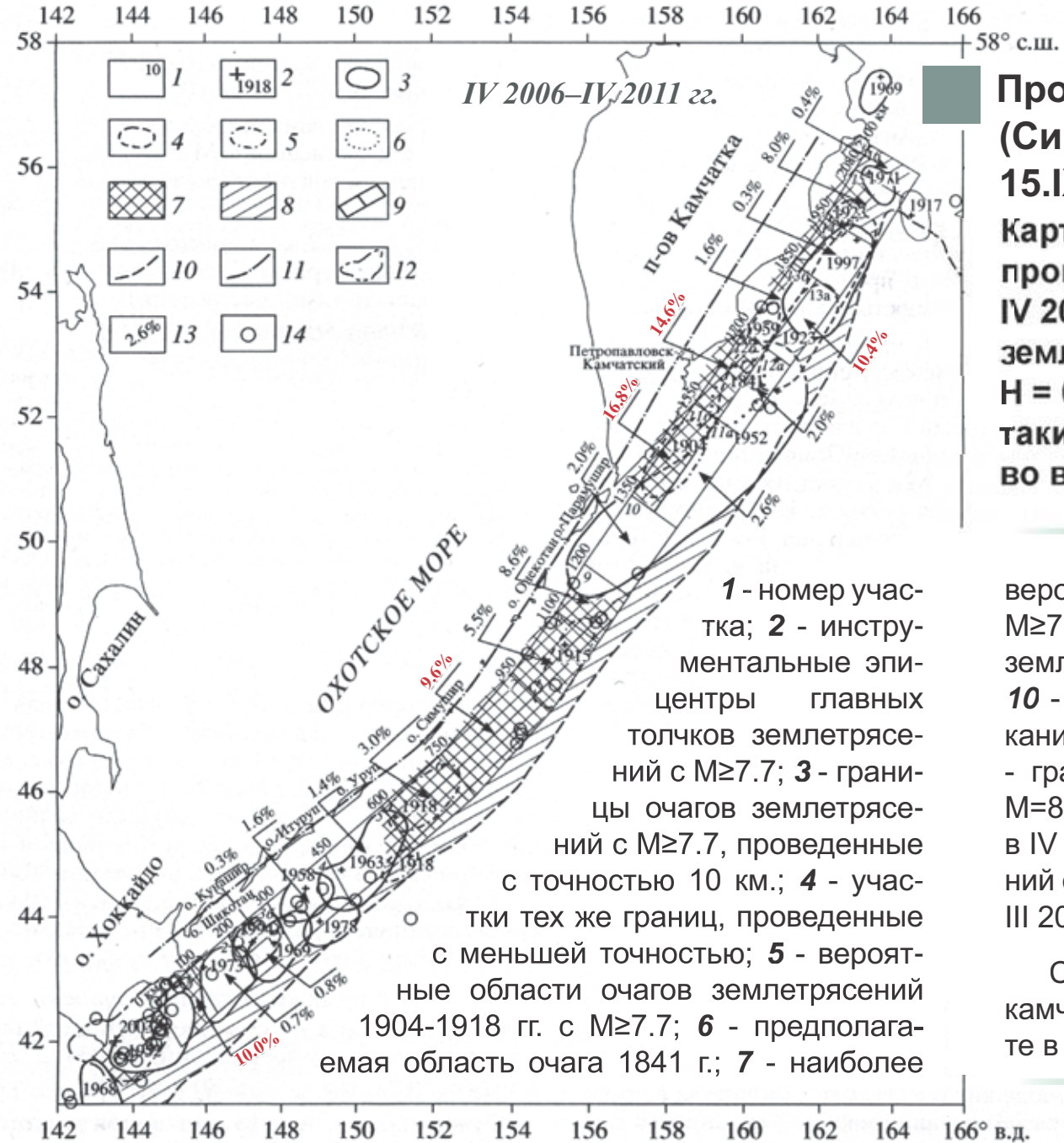
1 - номера участков; 2 - инструментальные эпицентры главных толчков землетрясений; 3 - границы областей очагов, проведенные с точностью 10 км; 4 - участки тех же границ, проведенные с меньшей точностью; 5 – эпицентр и граница очага землетрясения 25.09.2003 г., построенная по данным за полгода; 6 - наиболее вероятные места следующих землетрясений с  $M \geq 7.7$ ; 7 - возможные места следующих таких землетрясений; 8 - зона прогноза; 9 - оси глубоководных желобов; 10 - северо-западная граница зоны землетрясений с глубинами очагов  $H = 0–80$  км; 11 - вероятности возникновения землетрясений с  $M \geq 7.7$  в 2001–2005 гг.; 12 - эпицентры афтершоков за первые полгода с  $M_S \geq 5.0$ ; 13 - эпицентры афтершоков за первые полгода с  $M_S < 5.0$ .



Прогноз Кроноцкого землетрясения 5.XII 1997 г.,  $M=7.8$   
Карта эпицентров форшоков (2.XII 1997–5.XII 1997 г.),  
основного толчка и афтершоков  
(5.XII 1997–4.I 1998 г.)

- |    |  |
|----|--|
| 1  |  |
| 2  |  |
| 3  |  |
| 4  |  |
| 5  |  |
| 6  |  |
| 7  |  |
| 8  |  |
| 9  |  |
| 10 |  |
| 11 |  |

- Эпицентры землетрясений:
- 1 – основного толчка;
  - 2 – с  $6.5 \leq M \leq 7.4$ ;
  - 3 – с  $5.5 \leq M \leq 6.4$ ;
  - 4 – с  $4.5 \leq M \leq 5.4$ ;
  - 5 – с  $3.5 \leq M \leq 4.4$ ;
  - 6, 7 – эпицентры афтершоков и форшоков соответственно;
  - 8 – малый Усть-Камчатский геодезический полигон;
  - 9 – ось глубоководного желоба;
  - 10 – вулканы Безымянный (Бзм) и Карымский (Крм), извергавшиеся во время Кроноцкого землетрясения;
  - 11 – области очагов землетрясений с  $M \geq 7.7$ , происходивших до Кроноцкого землетрясения [Федотов, 1980, 1987].



## Прогноз Средне-Курильского (Симуширского) землетрясения 15.IX 2006 г., $M = 8.2$

Карта долгосрочного сейсмического прогноза для Курило-Камчатской дуги на IV 2006-IV 2011, очагов курило-камчатских землетрясений 1904-III 2006 гг. с  $M \geq 7.7$ ,  $H = 0-80$  км, и вероятностей возникновения таких землетрясений в IV 2006-IV 2011 гг. во всех участках полосы прогноза.

вероятные места следующих землетрясений с  $M \geq 7.7$ ; 8 - возможные места следующих таких землетрясений; 9 - границы участков прогноза; 10 - оси глубоководных желобов; 11 - ось вулканического пояса Курило-Камчатской дуги; 12 - границы очага землетрясения 25.IX 2003 г.,  $M=8.1$ ; 13 - вероятности землетрясений  $M \geq 7.7$  в IV 2006-IV 2011 гг. 14 - эпицентры землетрясений с  $M \geq 5.5$ ,  $H=0-80$  км, произошедших в период III 2001-III 2006 гг.

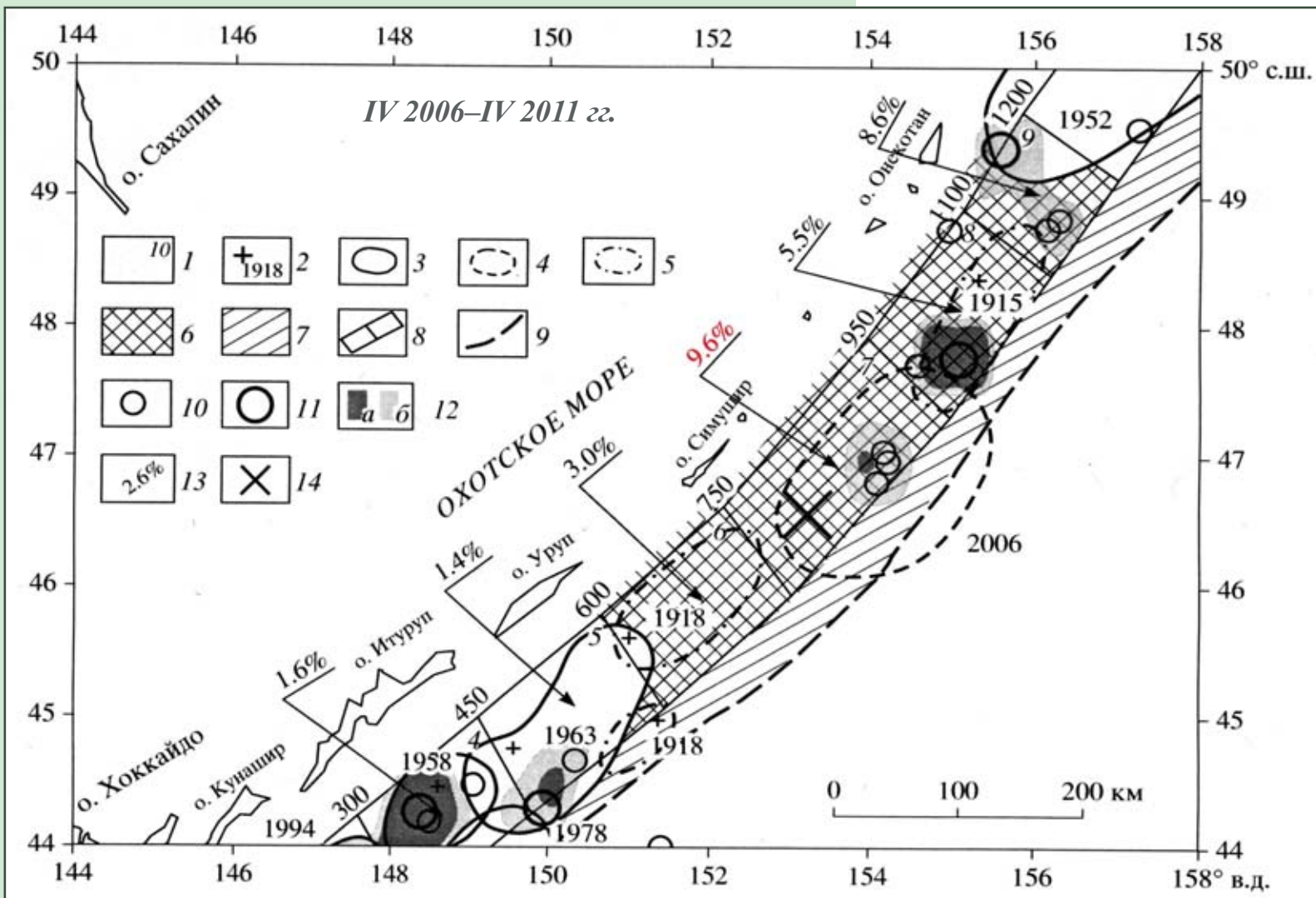
Средняя вероятность возникновения курило-камчатских землетрясений с  $M \geq 7.7$  в одном месте в течение 5 лет равна 3.6-4.2%.

## Прогноз для Средних Курил, изолинии параметра (1-В)

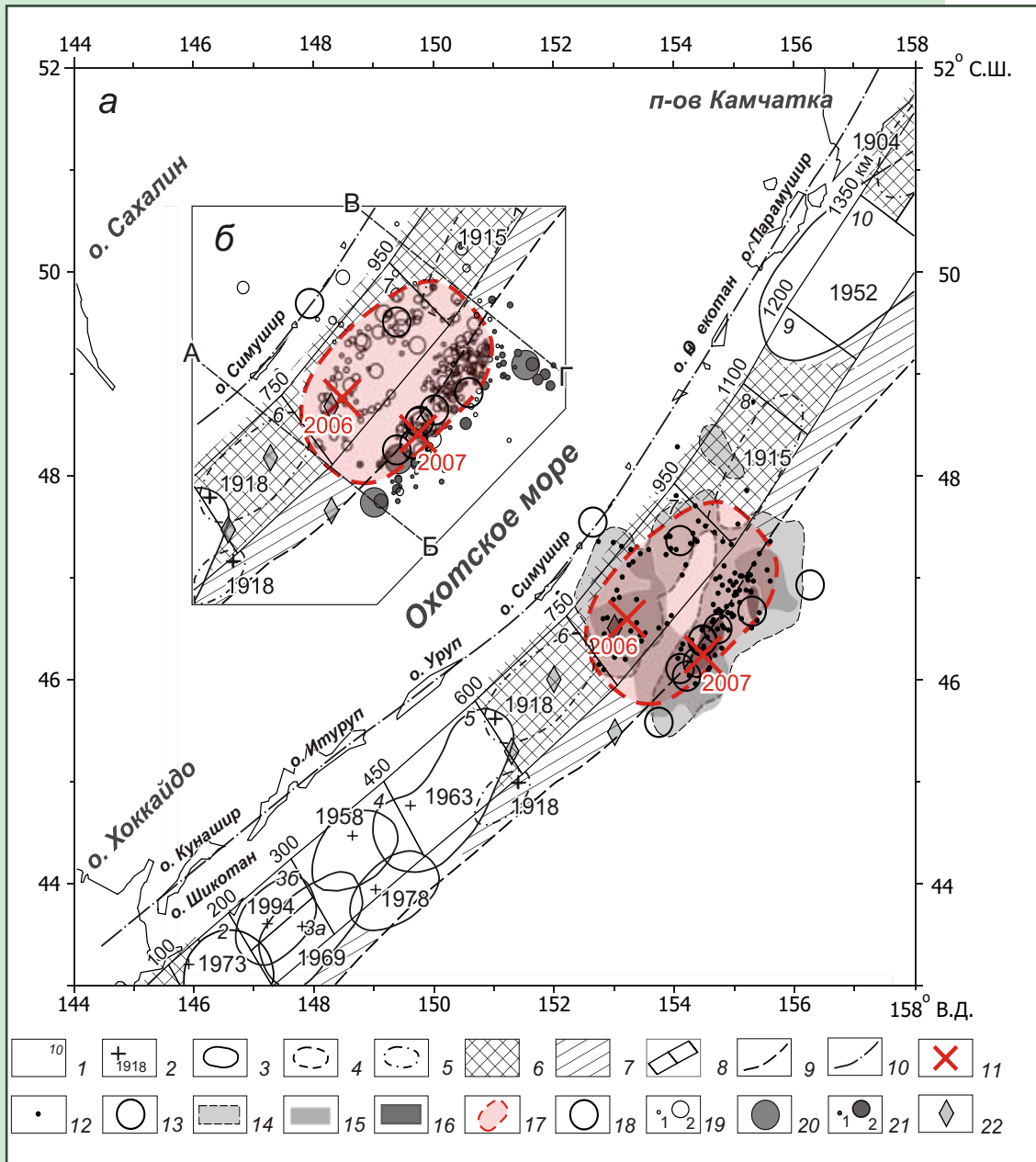
14

Карта очагов курило-камчатских землетрясений 1915-2006 гг. с  $M \geq 7.7$ ,  $H = 0\text{--}80$  км, “сейсмических брешей”, изолиний параметра 1-В по данным III 2001-III 2006 гг., а также эпицентров землетрясений за этот период. Оценка вероятности возникновения таких землетрясений в IV 2006-IV 2011 гг.

**1** - номер участка; **2** - инструментальные эпицентры главных толчков землетрясений с  $M \geq 7.7$ ; **3** - границы очагов землетрясений с  $M \geq 7.7$ , проведенные с точностью 10 км; **4** - участки тех же границ, проведенные с меньшей точностью; **5** - вероятные области очагов землетрясений 1915-1918 гг. с  $M \geq 7.7$ ; **6** - наиболее вероятные места следующих землетрясений с  $M \geq 7.7$ ; **7** - возможные места следующих таких землетрясений; **8** - границы участков прогноза; **9** - ось глубоководного желоба; **10** - эпицентры землетрясений за период III 2001-III 2006 гг. с  $5.5 \leq mb < 6.0$ ; **11** — эпицентры землетрясений за период III 2001-III 2006 гг. с  $mb \geq 6$ ; **12** - изолинии параметра 1-В для двух уровней:  $a = -0.9$ ,  $b = -0.7$ ; **13** - вероятность землетрясений  $P(M \geq 7.7)$  на период IV 2006-IV 2011 гг.; **14** - эпицентр Средне-Курильского (Симуширского) землетрясения 15.XI 2006 г.,  $M_W = 8.3$ ,  $M_S = 8.2$ .



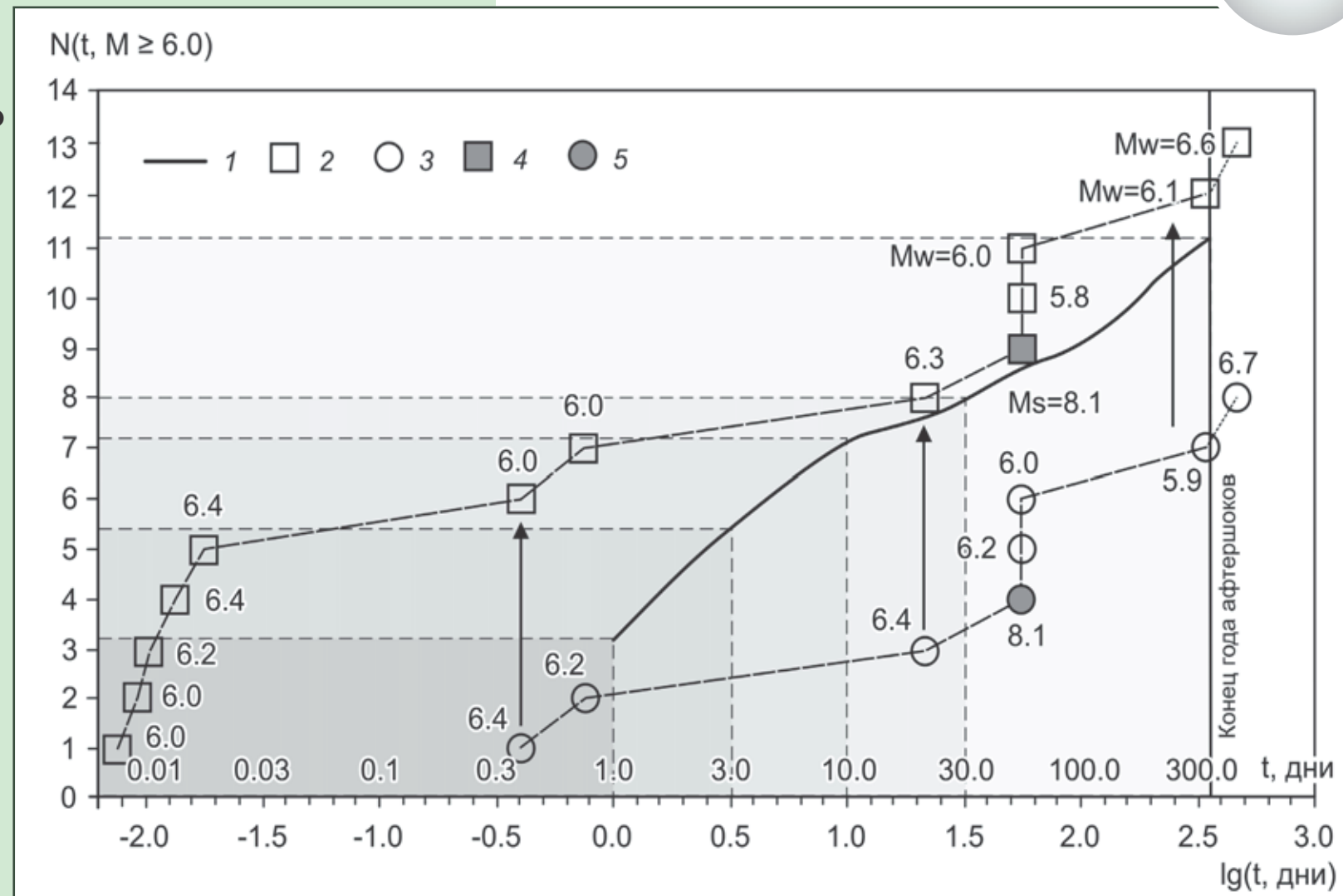
## Афтершоки Средне-Курильских (Симуширских) землетрясений 15.XI 2006 г., $M_S=8.2$ и 13.I 2007 г., $M_S=8.1$ и область очага, построенная по данным за 1 год



**а - области высоких значений параметров  $A_{10}$  и  $D$  по данным NEIC и ГС РАН, а также афтершоки (NEIC) в течение одного года после Средне-Курильского землетрясения 15.XI 2006 г.,  $M_S=8.2$ :** 1 - номер участка; 2 - инструментальные эпицентры главных толчков землетрясений с  $M \geq 7.7$ ; 3 - границы очагов землетрясений с  $M \geq 7.7$ , проведенные с точностью 10 км; 4 - участки тех же границ, проведенные с меньшей точностью; 5 - вероятные области очагов землетрясений 1904-1918 гг. с  $M \geq 7.7$ ; 6 - наиболее вероятные места следующих землетрясений с  $M \geq 7.7$ ; 7 - возможные места следующих таких землетрясений; 8 - границы участков прогноза; 9 - оси глубоководных желобов; 10 - ось вулканического пояса Курило-Камчатской дуги; 11 - эпицентры Средне-Курильского землетрясения 15.XI 2006 г.,  $M_S=8.2$ , и сильнейшего события в его очаге 13.I.2007 г.,  $M_S=8.1$ ; 12 - эпицентры афтершоков первых суток с  $mb=4.4-4.9$ ; 13 - эпицентры афтершоков с  $mb \geq 6.0$  за 1 год; 14 - область параметра  $A_{10} \geq 10$ , построенная по каталогу ГС РАН за один год; 15 - область параметра  $A_{10} \geq 10$ , построенная за тот же период по каталогу NEIC; 16 - область параметра  $D \geq 1$ ; 17 - область очага Средне-Курильских землетрясений 15.XI 2006 г. и 13.I 2007 г. б - афтершоки первых суток после Средне-Курильского землетрясения 15.XI 2006 г.,  $M_S=8.2$  и после сильнейшего землетрясения в его очаге 13.I 2007 г.,  $M_S=8.1$  (NEIC): 18 - афтершоки с  $mb \geq 6.0$  в течение первых суток после землетрясения 15.XI 2006 г.,  $M_S=8.2$ ; 19 - афтершоки за тот же период с  $mb$  от 4.4 (1) до 5.9 (2); 20 - афтершоки с  $mb \geq 6.0$  первых суток после землетрясения 13.I 2007 г.,  $M_S=8.1$ ; 21 - афтершоки за тот же период с  $mb$  от 4.4 (1) до 5.9 (2); 22 - афтершоки землетрясения 7.IX 1918 г.,  $M=8.2$ .

Прогноз сильных афтершоков ( $M \geq 6.0$ ) Средне-Курильского землетрясения  
15.XI 2006 г.,  $M=8.2$

Увеличение со временем  $t$  суммарного количества афтершоков  $M \geq 6.0$ ,  $N(t, M \geq 6.0)$  для этого землетрясения, по данным каталогов NEIC (mb) и СФ ГС РАН ( $M_s$ ), и средняя последовательность афтершоков  $M \geq 6.0$  для курилоКамчатских и японских землетрясений с  $M \geq 7.7$  - «сейсмический сценарий». Область очага Средне-Курильского землетрясения показана на предыдущем рисунке.



1 – средняя зависимость по «сценарию афтершоков»;  
2 - зависимость по каталогу NEIC;  
3 - зависимость по каталогу СФ ГС РАН;

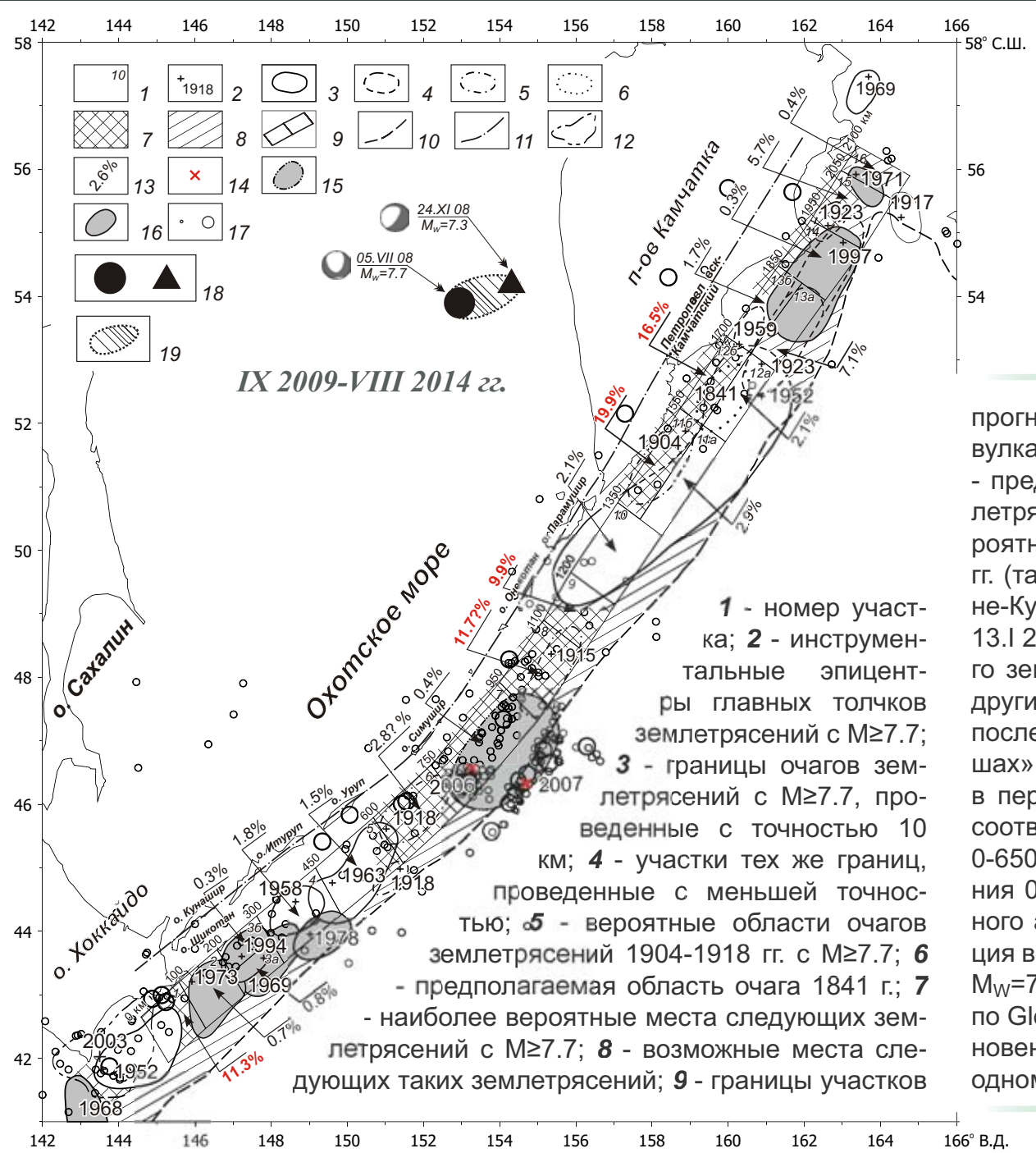
4 и 5 - землетрясение 13.I 2007 г.,  $M_s=8.1$  в последовательности NEIC и СФ ГС РАН соответственно.

## Долгосрочный сейсмический прогноз для Курило-Камчатской дуги на IX 2009–VIII 2014 гг. ( $H \leq 80\text{км}$ ), полученный с использованием параметров $A_{10}$ , $D$ , $A_{11}$

Даны прогнозы восьми характеристик сейсмичности на IX 2009–VIII 2014 гг. Для всех 20 участков дуги указываются вероятные стадии сейсмического цикла. Индексом III отмечены те участки, в которых землетрясения с  $M \geq 7.7$  не происходили в течение последних 80 лет и где значительна вероятность прихода за-ключительной, III стадии сейсмического цикла. Знаками вопроса отмечены те из участков, в которых вероятность такого события меньше. 1-В - параметр, показывающий относительную опасность “сейсмических брешей”;  $A_{10}$  – сейсмическая активность;  $P \sim 0.8$ , 0.5, 0.15 – вероятности землетрясений с  $M = 5.7$ -7.2;  $M_{\text{MAX}}$  – максимальная возможная магнитуда;  $P(M \geq 7.7)$  – прогнозируемые вероятности сильнейших землетрясений. Выделены оценки вероятности сильнейших землетрясений  $P(M \geq 7.7)$  и их очередность. Значения вероятности  $P(M \geq 7.7)$  в скобках соответствуют их величинам на VI 2009–V 2014 гг. Средняя долговременная величина  $P(M \geq 7.7) = 3.6\text{-}4.2\%$ .

Участок	$\Delta, \text{км}$	Район	$t_0$	Стадия цикла и ее оценка по данным 2004-2009 гг. (IX 2004 г. – VIII 2009 г.)					Прогноз на IX 2009 – VIII 2014 гг.								Вероятная очередьность	
									Стадия	$P_1=P(A_{10})$	$P_2=P(D)$	$P_3^{(1)}=P(A_{11})$	$B = P_1 \cdot P_2 \cdot P_3^{(1)}$	$A_{10}$	$A_{10} \pm \sigma$	$P \sim 0.8$	$P \sim 0.5$	$P \sim 0.15$
1	0 – 100	Мыс Сириха - п-ов Немуро	1952	III	0.06	0.01	0.54	0.0004	1.2 - 3	0.8 - 4.5	6.0	6.5	7.0	7.8	<b>11.3</b>	(10.9)	4 (3)	
2	100 – 200	П-ов Немуро - о-в Зелёный	1973	II					1.2	0.8 - 1.9	5.8	6.3	6.8		<b>0.7</b>	(0.7)		
3а	200 – 300	О-в Шикотан, Ю-В	1969	II					1.2	0.8 - 1.9	5.7	6.2	6.7		<b>0.8</b>	(0.8)		
3б	200 – 300	О-в Шикотан, С-З	1994	I					2.1→1.4	1.2 - 4.5	6.0	6.4	6.9		<b>0.3</b>	(0.3)		
4	300 – 450	О-в Итуруп	1958	II					1.2	0.8 - 1.9	5.9	6.4	6.9		<b>1.8</b>	(1.8)		
5	450 – 600	Пролив Фриза - о-в Уруп	1963	II					1.2	0.8 - 1.9	5.9	6.4	6.9		<b>1.5</b>	(1.5)		
6	600 – 750	Мыс Кастикум - пр. Буссоль	1918	III?	0.58	0.99	0.73	0.42	1.2 - 3	0.8 - 4.5	6.0	6.5	7.0	8.0	<b>2.8?</b>	(2.8?)	8 (8)	
7	750 – 950	О-в Симушир - пр. Крузенштерна	2006	I					3.1→1.9	0.8 - 4.5	6.2	6.7	7.2		<b>0.4</b>	(0.4)		
8	950 – 1100	О-в Шиашкотан	1915	III?	0.52	0.74	0.81	0.31	1.2 - 3	0.8 - 4.5	6.0	6.5	7.0	8.0	<b>11.7?</b>	(10.3?)	3 (4)	
9	1100 - 1200	О-в Онекотан - пр. 3-й Курильский		III	0.83	0.19	0.78	0.12	1.2 - 3	0.8 - 4.5	6.0	6.4	7.0	7.9	<b>9.9</b>	(9.6)	5 (5)	
10	1200 - 1350	О-в Парамушир - мыс Лопатка	1952	II					1.2	0.8 - 1.9	5.9	6.4	6.9		<b>2.1</b>	(2.1)		
11а	1350 - 1550	Юг Камчатки, Ю-В	1952	II					0.8	0.6 - 1.1	5.8	6.3	6.8		<b>2.9</b>	(2.9)		
11б	1350 - 1550	Юг Камчатки, С-З	1904	III	0.66	0.57	0.31	0.12	1.3 - 3	0.8 - 4.5	6.0	6.5	7.0	8.0	<b>19.9</b>	(19.7)	1 (1)	
12а	1550 - 1700	Зал. Авачинский - п-ов Шипунский, Ю-В	1952	II					1.2	0.8 - 1.9	5.7	6.2	6.7		<b>2.1</b>	(2.1)		
12б	1550 - 1700	Зал. Авачинский - п-ов Шипунский, С-З	1841	III	0.27	0.66	0.13	0.02	1.2 - 3	0.8 - 4.5	5.9	6.4	6.9	8.0	<b>16.5</b>	(16.0)	2 (2)	
13а	1700 - 1850	Залив Кроноцкий, Ю-В	1923	III?	1.00	0.99	0.59	0.58	1.2 - 3	0.8 - 4.5	5.9	6.4	6.9	8.0	<b>7.1</b>	(6.9)	6 (7)	
13б	1700 - 1850	Залив Кроноцкий, С-З	1959	II					2.6	1.7 - 3.9	5.9	6.4	6.9		<b>1.7</b>	(1.7)		
14	1850 - 1950	П-ов Кроноцкий	1997	I					3.1→1.9	1.2 - 4.5	6.0	6.5	7.0		<b>0.3</b>	(0.3)		
15	1950 - 2050	Зал. Камчатский		III?	0.81	0.98	0.62	0.50	1.2 - 3	0.8 - 4.5	6.0	6.5	7.0	7.9	<b>5.7</b>	(8.5)	7 (6)	
16	2050 - 2100	П-ов Камчатский	1971	II					0.8	0.6 - 1.1	5.7	6.2	6.7		<b>0.4</b>	(0.4)		
Оценка критических значений вероятностей					0.062	0.308	0.354	0.007									$\Sigma = 100.0$	

**Карта долгосрочного сейсмического прогноза для Курило-Камчатской дуги, очагов курило-камчатских землетрясений 1904-2009 гг. с  $M \geq 7.7$ ,  $H=0-80$  км, и вероятностей возникновения таких землетрясений в IX 2009-VIII 2014 гг. во всех участках полосы прогноза**



прогноза; 10 - оси глубоководных желобов; 11 - ось вулканического пояса Курило-Камчатской дуги; 12 - предварительное определение границы очага землетрясения у Хоккайдо 25.IX.2003 г.,  $M=8.1$ ; 13 - вероятности землетрясений  $M \geq 7.7$  в IX.2009-VIII.2014 гг. (табл. на предыдущей стр.); 14 - эпицентры Средне-Курильских землетрясений 15.XI.2006 г.,  $M_W=8.3$ , и 13.I 2007 г.,  $M_W=8.1$ ; 15 - область очага предсказанного землетрясения 15.XI.2006 г.; 16 - области очагов других землетрясений с  $M \geq 7.7$ , которые произошли после 1965 г. в предсказанных «сейсмических брешах»; 17 - эпицентры землетрясений, произошедших в период 1.IX.2004-31.VIII.2009 гг., меньший кружок, соответствует  $5.0 \leq mb < 6.0$ , больший -  $6.0 \leq mb < 8.0$ ,  $H = 0-650$  км (каталог NEIC). 18 - эпицентры землетрясения 05.VII 2008  $M_W=7.7$ ,  $H=630$  км. (круг), и его главного афтершока с  $M_W=7.3$  (треугольник); 19 - проекция вероятной области очага землетрясения 05.VII 08  $M_W=7.7$ ,  $H=630$  км. (каталоги NEIC и IRIS, механизмы - по Global CMT Catalog). Средняя вероятность возникновения курило-камчатских землетрясений с  $M \geq 7.7$  в одном месте в течение 5 лет равна 3.6-4.2%.

## Выводы долгосрочного сейсмического прогноза для Курило-Камчатской дуги на IX.2009–VIII.2014 гг. (по оценкам на сентябрь 2009 г.)

Наиболее вероятными местами следующих сильнейших землетрясений с  $M \geq 7.7$  на период IX.2009–VIII.2014 гг. остаются участки, расположенные в районе г. Петропавловска-Камчатского: для южной Камчатки, участок 11б (рис. на пред стр.), вероятность землетрясения с  $M \geq 7.7$ , имеющего силу до 8 баллов в г. Петропавловске-Камчатском, равна 19.9 %; для Авачинского залива, участок 12б, вероятность возникновения землетрясения с  $M \geq 7.7$ , имеющего силу до 9 баллов в г. Петропавловске-Камчатском, равна 16.5 %; для юго-восточной части Кроноцкого залива, участок 13а, вероятность землетрясения  $M \geq 7.7$ , имеющего силу до 7 баллов в г. Петропавловске-Камчатском, равна 7.1 %. Повышена вероятность ( $P=5.7\%$ ) сильнейшего землетрясения с  $M \geq 7.7$  для района Камчатского залива, участок 15 (рис. на пред стр.).

**Суммарная вероятность землетрясений с  $M \geq 7.7$  в участках 11а, 11б, 12а, 12б, 13а, 13б, которые могут иметь силу 7–9 баллов в г. Петропавловске-Камчатском, может достигать 50.3 % в пери-**

од времени с IX.2009–VIII.2014 гг. При этом вероятность возникновения в этот период времени в г. Петропавловске-Камчатском землетрясения силой 9 баллов равняется 16.5 %, а землетрясений силой 8 и 7 баллов – 33.7 %. В полной мере сохраняется необходимость неотложных мер по сейсмобезопасности, повышению устойчивости жилых домов, основных объектов и систем жизнеобеспечения в Камчатском крае.

На Курильских островах сейсмическая опасность высока для участков 8 и 9, о-ва Матуа и Онекотан (рис. на пред стр.), где общая вероятность землетрясения с  $M \geq 7.7$  на период IX.2009–VIII.2014 гг. равна 21.5 %, и для участка 1, п-ов Немуро, где такая вероятность равна 11.3 %.

В остальных участках сейсмогенной зоны Курило-Камчатской дуги вероятность возникновения сильнейших землетрясений  $P(M \geq 7.7)$  равна средней или существенно, до 10–15 раз, ниже средней, которая равна 3.6–4.2%.

## Оценки достоверности прогнозов

На протяжении 40-летнего периода использования метода долгосрочного сейсмического прогноза для Курило-Камчатской сейсмофокальной зоны неоднократно проводились проверки как основных положений метода, так и даваемых на его основе прогнозов.

### Основные выводы:

- перекрытие очагов сильнейших землетрясений, построенных по первому году афтершоков не превышает в среднем 20%;
- все курило-камчатские землетрясения происходили в пределах трех наиболее опасных “сейсмических брешей”;
- уточнение сейсмического цикла основных параметров  $A_{10}$  и  $D$  подтвердило основные особенности сейсмического процесса для всех трех стадий сейсмического цикла, и что наиболее важно – активизацию сейсмического процесса на III, заключительной его стадии в интервалах 5 и более лет и на площадях больших или равных по размеру площади очага сильнейшего землетрясения;
- за время использования метода были верно предсказаны восемь сильнейших ( $M \geq 7.7$ ) землетрясений Курило-Камчатской сейсмогенной зоны и северо-восточной Японии (1968, 1969, 1971, 1973, 1978, 1994, 1997 и 2006 гг.);
- за период 1965–2000 гг. оправдывались предсказанные вероятностные оценки сейсмической активности  $A_{10}$  и значений ожидаемых магнитуд землетрясений средней силы;
- стандартное отклонение числа предсказываемых сильных афтершоков относительно истинного значения составляет 12% от его величины.

## Перспективы развития метода долгосрочного сейсмического прогноза, совместное использование с другими методами

**Д**анные используемого метода прогноза могут быть существенно дополнены другими методами. Первым удачным применением такого подхода можно считать заблаговременный прогноз Кроноцкого землетрясения 1997 г. за 10 лет до него [Федотов, 1987]. На основе приведенного в этой работе графика суммарной выделившейся сейсмической энергии Камчатского сегмента сейсмофокальной зоны был сделан вывод, что наблюдавшееся к тому времени сейсмическое затишье землетрясений с  $M \geq 7\frac{3}{4}$  вряд ли продлится дольше, чем до 1995-2000 г.

В 80-е годы В.И. Кейлис-Борок создал целое се-

мейство математических алгоритмов среднесрочного прогноза, основными из которых стали М8 и КН. Алгоритм М8 был разработан для прогноза сильнейших землетрясений мира с магнитудой 8,0 и выше, а КН — для прогноза сильных землетрясений регионального уровня. На Камчатке работу по прогнозу на основе этого метода вел Ю.Д. Матвиенко [Матвиенко, 1998]. Его оценки на основе метода М8 использовались совместно с долгосрочным сейсмическим прогнозом С.А. Федотова.

**Д**ля уточнения прогнозных оценок и повышения их надежности необходимо более детальное исследование сейсмичес-

кого процесса на его заключительной III стадии. В качестве перспективных на ближайшее время работ, позволяющих уточнять прогнозные оценки рассматриваются метод картирования сейсмических затишь И.Н. Тихонова [Тихонов, 2005], метод прогноза на основе глубоких землетрясений [Моги, 1988].

**С** целью повышения надежности долгосрочного прогноза, а также для возможности расширения его применимости за пределы Курило-Камчатской сейсмофокальной зоны был введен дополнительный параметр  $A_{11}$ , который может быть построен на основе распространенных каталогов магнитуд, в том числе  $mb$  и  $Ms$  и в определенной мере заменить в этом случае параметр  $A_{10}$ . В настоящее время исследуются особенности графика повторяемости, свойства распределения выделяемой сейсмической энергии как по ее величи-

нам, так и в отношении пространственно-временных закономерностей.

**П**ри новом развертывании мероприятий по сейсмозащите и сейсмоукреплению в условиях высокой опасности совершенно необходимо продолжать и развивать апробированные работы и исследования по долгосрочному сейсмическому прогнозу для Курило-Камчатской дуги, [Федотов, 2005, и др.]. Нужные сведения дают в настоящее время также другие методы сейсмического прогноза [Соболев, Пономарев, 2003], [Кособоков, 2005], [Завьялов, 2006], [Шебалин, 2005] и др. Как и ранее [Федотов, Чернышев и др., 1998], [Матвиенко, 1998], [Федотов, 2005], более полные и определенные результаты смогут принести углубленные сейсмологические исследования и ведение прогнозов широким комплексом методов.

# Обоснование государственных мер по сейсмозащите и сеймоусиленю в 1986 - 2009 гг. Необходимость продолжения работ

**С**ообщения и отчеты по долгосрочным прогнозам регулярно представлялись АН, МЧС РФ, Администрации Камчатской области, а также дирекции Федеральной целевой программы «Социально-экономического развития Курильских островов Сахалинской области...» и в другие учреждения. На основании данных, полученных этим методом, в 1986-2001 гг. года было принято шесть Распоряжений и Постановлений Правительства о заблаговременной подготовке Камчатской области к сильным землетрясениям [Федотов, 2005].

На основании сделанных долгосрочных сейсмических прогнозов и предупреждений в г. Петропавловске-Камчатском в 1990-2004 гг. было проведено сеймоусиление 144 домов, имевших дефицит сеймобезо-

пасности 2-3 балла. В этих домах получили защиту 20 тысяч их жильцов.

В 2006-2007 гг. на основании данных долгосрочных сейсмических прогнозов и обращений С.А. Федотова к президенту РАН академику Ю.С. Осипову, губернаторам Камчатской области (края) и полномочным представителям Президента РФ в Дальневосточном федеральном округе даны три поручения Президента РФ В.В. Путина от 17.05.2006, 02.11.2006 и 05.09.2007 г., а также распоряжение Председателя Правительства РФ В.А. Зубкова от 22.09.2007 о мерах по сейсмобезопасности и сеймоусиленю в Камчатском крае.

15 августа 2008 г. Правительством РФ утверждена Концепция Программы по повышению устойчивости жилых домов, основных объектов и систем жиз-

необеспечения в сейсмических районах РФ на 2009-2013 гг., в которой уровень сейсмической опасности в Камчатском крае признан наивысшим в Российской Федерации. 16 октября 2008 г. Президент Российской Федерации Д.А. Медведев дал поручение выделить в 2009 г. Камчатскому краю и Сахалинской области средства на мероприятия по повышению сейсмической устойчивости жилых домов.

**П**равилами распределения субсидий из федерального бюджета бюджетам субъектов Российской Федерации и объемов финансирования за счет средств иных источников на реализацию федеральной целевой программы “Повышение устойчивости жилых домов, основных объектов и систем жизнеобеспечения в сейсмических районах Российской Федерации на 2009 - 2013 годы”, введенными Постановлением Правительства РФ от 30.07.2009 N 615, предусмотрено выделение Камчатскому краю из общего финансирования 8112.7 млн. руб., при этом на 2009 г. выделяется 3770.6 млн. руб. переходящих средств.

Хорошим примером выполнения заблаговременных мер является сейсмоукрепление главного здания ИВиС, средства на которое выделяются ДВО РАН.

**В** течение десятилетий, прошедших со времени создания данного метода долгосрочного сейсмического прогноза, большую благожелательную поддержку продолжению работ и незаменимое содействие важнейшему применению их результатов оказывали многие ведущие ученые, руководители АН и государственные деятели. Среди них были директор ИФЗ АН СССР академик М.А. Садовский, сотрудники ИФЗ член-корреспондент АН СССР Ю.В. Ризниченко и д.т.н. С.В. Медведев, Президенты АН академики А.П. Александров и Ю.С. Осипов, академики – секретари ОНЗ РАН академики Ю.Г. Леонов и А.О. Глико, председатель ДВО РАН академик В.И. Сергиенко, Полномочный представитель Президента РФ в Дальневосточном округе К.Ш. Исхаков, губернаторы Камчатки М.Б. Машковцев и А.А. Кузьмицкий. Всем им приносится самая глубокая благодарность.

## ЗАКЛЮЧЕНИЕ

В 1965 г. был предложен метод долгосрочного сейсмического прогноза для Курило-Камчатской дуги и сходных структур, основанный на найденных закономерностях размещения очагов сильнейших землетрясений и свойствах сейсмического цикла.

45-летний опыт применения метода показал его достоверность. Полученные результаты стали обоснованием в 1986-2009 гг. более 15 государственных решений о сейсмозащите и заблаговременном сейсмоукреплении в Камчатском крае.

Необходимо продолжение работ по дальнейшему развитию метода и по сопровождению мер, выполняющихся по ФЦП “Повышение устойчивости жилых домов...” в 2009-2013 гг.

# Литература

1. Завьялов А. Д. Среднесрочный прогноз землетрясений: основы, методика, реализация, М.: Наука, 2006. 256 с.
2. Кособоков В.Г. Прогноз землетрясений и геодинамические процессы. // Вычислительная сейсмология. Вып. 36. Часть 1. Прогноз землетрясений: основы, реализация, перспективы. М.: ГЕОС, 2005. 179 с.
3. Матвиенко Ю.Д. Применение методики M8 на Камчатке: успешный заблаговременный прогноз землетрясения 5 декабря 1997 г. // Вулканология и сейсмология. 1998. № 6. С. 27-36.
4. Моги К. Предсказание землетрясений. М.: Мир, 1988. 382 с.
5. Соболев Г.А. Основы прогноза землетрясений. М.: Наука. 1993. 324 с.
6. Соболев Г.А., Пономарев А.В. Физика землетрясений и предвестники. М.: Наука, 2003. 270 с.
7. Тихонов И.Н. Обнаружение и картирование сейсмических затишьй перед сильными землетрясениями Японии // Вулканология и сейсмология. 2005, № 5. С. 1-17.
8. Федотов С.А. О закономерностях распределения сильных землетрясений Камчатки, Курильских островов и северо-восточной Японии // Тр. ИФЗ АН СССР. 1965. № 36. С. 66-93.
9. Федотов С.А. О сейсмическом цикле, возможности количественного сейсмического районирования и долгосрочном сейсмическом прогнозе // Сейсмическое районирование СССР. М.: Наука, 1968. С. 121-150.
10. Федотов С.А. Долгосрочный сейсмический прогноз для Курило-Камчатской дуги. М.: Наука, 2005. 302 с.
11. Федотов С.А., Чернышев С.Д. 20 лет долгосрочного сейсмического прогноза для Курило-Камчатской дуги: достоверность в 1981-1985 гг., в целом за 1965-1985 гг. и прогноз на 1986-1990 гг. // Вулканология и сейсмология. 1987. № 6. С. 93-109.
12. Федотов С.А., Соломатин А.В., Чернышев С.Д. Долгосрочный сейсмический прогноз для Курило-Камчатской дуги на 2004-2008 гг. и ретроспективный прогноз Хоккайдского землетрясения 25 сентября 2003 г.,  $M = 8.1$  // Вулканология и сейсмология. 2004. № 5. С. 3-32.
13. Федотов С.А., Соломатин А.В., Чернышев С.Д. Долгосрочный сейсмический прогноз для Курило-Камчатской дуги на 2006-2011 гг. и успешный прогноз Средне-Курильского землетрясения 15.XI 2006 г.,  $Ms = 8.2$  // Вулканология и сейсмология, 2007. № 3, с. 3-25.
14. Федотов С.А., Соломатин А.В., Чернышев С.Д. Афтершоки и область очага Средне-Курильского землетрясения 15.XI.2006 г.,  $Ms=8.2$ ; долгосрочный сейсмический прогноз для Курило-Камчатской дуги на IV 2008-III 2013 гг. // Вулканология и сейсмология. 2008. № 6. С. 3-23.
15. Федотов С.А., Чернышев С.Д., Матвиенко Ю.Д., Жаринов Н.А. Прогноз Кроноцкого землетрясения 5 декабря 1997 г.,  $M=7.8-7.9$ , Камчатка и его сильных афтершоков с  $M \geq 6$  // Вулканология и сейсмология. 1998. № 6. С. 3-16.
16. Шебалин П.Н. Цепочки эпицентров как индикатор возрастаания радиуса корреляции сейсмичности перед сильными землетрясениями // Вулканология и сейсмология. 2005.